
Exercício Programa III : Modelagem de um Sistema de Resfriamento de Chips

MAP3121 - MÉTODOS NUMÉRICOS E APLICAÇÕES

PROF. DR. PEDRO PEIXOTO

13 DE JULHO, 2022

LAURA DO PRADO GONÇALVES PINTO
NºUSP 11819960

MATEUS STANO JUNQUEIRA
NºUSP 11804845

Lista de Figuras

1	Enunciado primeiro exercício de validação	16
2	Enunciado exercício extra de validação	18
3	Enunciado equilíbrio de forçantes de calor	20
4	Enunciado equilíbrio com variação de material	27
5	Saídas primeiro exercício de validação	34
6	gráficos de análise de convergência	34
7	Erros para P_i primeiro exercício de validação	35
8	Enunciado primeiro exercício de validação	35
9	Análise de convergência	36
10	Análise da influência de $Q_{+/-}^0$ na distribuição de calor	36
11	Análise da influência de σ na distribuição de temperatura	37
12	Análise da influência de θ na distribuição de temperatura	37
13	Análise da influência de σ e θ na distribuição de temperatura	38
14	gráficos da influência de condições de contorno não homogêneas no comportamento térmico do chip	39
15	Temperatura ao longo do chip para diferentes valores de k	40
16	Análise da influência de $k(x)$ de diferentes materiais na distribuição de calor	40

Conteúdo

1	Introdução	3
2	Descrição	4
2.1	Análise do problema	4
2.2	Equação do calor	4
2.3	Estado Estacionário	5
2.4	Método dos Elementos Finitos	5
2.5	Escolha do sistema de coordenadas	6
2.6	Montagem da Matriz e Solução do Sistema	7
2.7	Condições de Fronteiras Não Homogêneas e Intervalo	7
3	Implementação do Código	9
3.1	Algoritmo	9
3.2	Metodologia aplicada	9
3.3	Método de elementos finitos	9
3.4	Modo I	16
3.5	Modo II	18
3.6	Modo III	19
3.7	Modo IV	27
4	Conclusão	34
4.1	Resultados	34
4.1.1	Modo I	34
4.1.2	Modo II	35
4.1.3	Modo III	36
4.1.4	Modo IV	39
4.1.5	Conclusões finais	41
5	Referências	42
	Apêndice A Apêndices	43
A.1	functions.py	43
A.2	Main.py	48

1 Introdução

Neste relatório é apresentado todo o processo de construção lógica e computacional da resolução do terceiro exercício programa proposto para a disciplina MAP3121- Métodos Numéricos e Aplicações assim como os resultados obtidos pelos métodos apresentados e as conclusões tomadas sobre a tarefa proposta.

No exercício proposto trabalha-se a resolução e análise da função de calor de um chip e um resfriador, utilizando o método de elementos finitos. Para realizar esta tarefa, utilizam-se os códigos dos dois últimos exercícios programas a fim de fazer proveito do método de integração gaussiana para resolução de produtos internos e do método de solução de matrizes LU para resolver o sistema obtido no método de elementos finitos. Em seguida constrói-se um código para tecer análises sobre o comportamento de aquecimento e resfriamento do chip , dependendo das variações impostas à função de calor dada, incluindo variações de material, do comportamento constante e não constante dos calores gerado e absorvido, de condições de fronteira não homogêneas dentre outros descritos ao longo deste relatório, junto de suas respectivas conclusões.

Este relatório consta a metodologia utilizada para se alcançar tais objetivos além de todos os recursos utilizados para a construção do algoritmo assim como as análises referentes sobre os resultados encontrados.

2 Descrição

2.1 Análise do problema

O problema proposto na tarefa deste terceiro exercício programa consiste em utilizar o método de elementos finitos para resolução da equação de troca de calor referente à um chip e seu resfriador, respeitando as condições de contorno propostas e as devidas hipóteses simplificadoras. As aplicações consistem em validar o método utilizando-se dos códigos criados durante o primeiro e segundo exercícios programas deste curso resolvendo a equação principal para condições específicas as quais se tem respostas exatas e sabe-se a ordem de convergência. Em seguida, deve-se tratar do caso de um chip com material homogêneo e calcular o equilíbrio entre as forças de geração de calor do mesmo e a absorção de calor do resfriador, resolvendo as equações pelo método de elementos implementado em código para diferentes condições de contorno - assumindo primeiro funções de troca constantes e então adicionando-lhes complexidade. Então, tecem-se análises para um chip de material não constante, ou seja, seu k varia em função de x , e então utilizam-se os métodos para não somente chegar em soluções porém avaliar como diferentes materiais interferem nelas.

2.2 Equação do calor

O objetivo principal deste exercício programa, como mencionado, é uma modelagem térmica de um chip de tamanho $L \times L$ com espessura h . Para isso são adotadas inicialmente as seguintes hipóteses simplificadoras:

- Tratar o caso como unidimensional, analisando a seção transversal variando em x por todo o comprimento L .
- Assumindo que a espessura é suficientemente fina, pode-se assumir que não variação de temperatura na vertical.
- Ocorre apenas troca de calor na parte superior do chip, ou seja, a parte inferior é uma superfície perfeitamente isolada.

Utilizando a equação de Fourier e o conceito de conservação de energia pode-se chegar na seguinte equação para delimitar a troca de calor entre o chip e seu resfriador :

$$\rho C \frac{\partial T(t, x)}{\partial t} = \frac{\partial(k(x) \cdot \frac{\partial T(t, x)}{\partial x})}{\partial x} + Q(t, x) \quad (1)$$

Na qual ρ é a densidade do material do chip; C é a constante de calor específico do material; $T(t, x)$ é a função temperatura do chip para x no instante t ; $k(x)$ é a condutividade térmica do material na posição x ; e $Q(t, x)$ é a função da fonte de calor.

Quanto à função da fonte de calor, ela é o resultado da soma entre a função Q_+ gerado pelo chip e a função Q_- retirado pelo resfriador.

$$Q = Q_+ - Q_- \quad (2)$$

O valor de Q_+ pode ser obtido em função da potência P e do volume V :

$$Q_+ = \frac{P}{V} \quad (3)$$

Para resolver estas equações , precisa-se do estado inicial [$T(0,x)$] e dos estados de fronteira , ou seja valores de T para quando $x = 0$ e $x = L$.

Para esse modelo em específico adota-se que a temperatura nos extremos é igual à ambiente (20°C).

2.3 Estado Estacionário

Para a hipótese de que o processador em questão está em regime constante, ou seja, Q_+ e Q_- são constantes tem-se que:

$$\frac{\partial T(t, x)}{\partial t} = 0 \longrightarrow \frac{-\partial(k(x)\frac{\partial T(x)}{\partial x})}{\partial x} = Q(x) \quad (4)$$

De tal forma que se Q_+ e Q_- forem conhecidos , assim como as condições de fronteira ($T(x=0)$ e $T(x=L)$) pode-se encontrar soluções de equilíbrio com métodos numéricos para a equação do calor.

2.4 Método dos Elementos Finitos

Neste exercício programa, o método utilizado para resolução numérica das equações mencionadas será o método de elementos finitos.

Para a equação:

$$L(u(x)) := (-k(x)u'(x))' + q(x)u(x) = f(x)x \in (0, 1), u(0) = u(1) = 0 \quad (5)$$

A solução clássica é dada por:

$$u(x) \in V_0 = v \in C^2[0, 1] : v(0) = v(1) = 0 \quad (6)$$

Tem-se que, sendo $u(x)$ solução da equação (1) e $v(0) \in V_0$:

$$\int_0^1 L(u(x))v(x) dx = \int_0^1 f(x)v(x) dx \quad (7)$$

Utilizando o método de integração por partes e considerando que $u(x)$ e $v(x)$ se anulam nos extremos:

$$\int_0^1 [k(x)u'(x)v'(x) + q(x)u(x)v(x)] dx = \int_0^1 f(x)v(x) dx; \forall v \in V_0 \quad (8)$$

Caso $u(x) \in V_0$ satisfaça a equação (8), então $u(x)$ é necessariamente solução de (5). Assim , para $u(x)$ ambas as equações são equivalentes. Porém, ao passo que para (5) a solução precisa ser duas vezes continuamente diferenciável, para (8) pode-se formulá-la para equações mais gerais. De tal forma que é possível definir $u(x)$ e $v(x)$ em um espaço U_0 das funções contínuas, continuamente diferenciáveis por partes (com derivadas limitadas) e que se anulam nos extremos de $[0, 1]$. Tal que (8) também vale para $\forall v \in U_0$, chamada "versão fraca" de (5).

Nota-se que o lado esquerdo da equação (8) trata-se de um produto interno $\langle u, v \rangle_L \in U_0$. Para tal, imediatamente todas as propriedades de produtos internos valem para a expressão, assim para que o produto $u, u \rangle$ seja igual a zero, implica-se que $u = 0$ para quando $q = 0$. Como $u'(x)$ é necessariamente igual a zero no intervalo $[0,1]$, tem-se que u é constante. Contudo, como nos extremos de u vale zero, tem-se que $u(x)$ é na verdade a função nula.

Para solucionar a equação (8) para todo v em U_0 , é possível utilizar o método de Ritz-Raleigh, o qual fará uma aproximação utilizando o método dos mínimos quadrados em um subespaço finito de U_0, U_n , através da projeção ortogonal de $u(x)$ neste subespaço.

Essa projeção é viável substituindo o produto interno usual pelo apresentado anteriormente. Assim a projeção ortogonal \bar{u}_n de $u(x)$ em U_n é tal que $\langle u - \bar{u}_n, v_n \rangle = 0$ para todo v_n e u_n ou seja $\bar{u}_n, v_n \rangle = \langle u, v_n \rangle$.

Sendo a solução da equação e U_n está contido em U_0 tem-se que $v_n \in U_n, \langle u, v_n \rangle_L = \langle f, v_n \rangle$. É possível desta forma obter a projeção u por meio de \bar{u}_n : $\langle \bar{u}_n, v_n \rangle_L = \langle f, v_n \rangle, \forall v_n \in U_n$.

Como a função \bar{u}_n minimiza o valor de $\|u - v_n\|_L = \langle u - v_n, u - v_n \rangle_L^{1/2}$, para $v_n \in U_n$, ela é a melhor aproximação da solução u no espaço U_n .

Para obter-se a solução da projeção mencionada, é necessário definir uma base $\phi_1 \dots \phi_n$ do subespaço U_n . Após escolhida, e escrevendo $\bar{u}_n = \sum_{i=1}^n \alpha_i \phi_i$ basta resolver $\langle \bar{u}_n, \phi_i \rangle_L = \langle f, \phi_i \rangle, i = 1, \dots, n$ no seguinte sistema linear:

$$\begin{bmatrix} \langle \phi_1, \phi_1 \rangle_L & \langle \phi_2, \phi_1 \rangle_L & \dots & \langle \phi_n, \phi_1 \rangle_L \\ \dots & \dots & \dots & \dots \\ \langle \phi_1, \phi_n \rangle_L & \langle \phi_2, \phi_n \rangle_L & \dots & \langle \phi_n, \phi_n \rangle_L \end{bmatrix} \cdot \begin{bmatrix} \alpha_1 \\ \dots \\ \alpha_n \end{bmatrix} = \begin{bmatrix} \langle f, \phi_1 \rangle \\ \dots \\ \langle f, \phi_n \rangle \end{bmatrix} \quad (9)$$

2.5 Escolha do sistema de coordenadas

Para este exercício defini-se o subespaço U_n por um espaço de Splines Lineares $S_{2,n}^0[0, 1]$ com nós uniformemente espaçados em $[0, 1]$. Tomando $h = 1/(n + 1)$ e $x_i = ih, i = 0, 1, \dots, n + 1$ teremos:

$$S_{2,n}^0[0, 1] = \left\{ s(x) \in C[0, 1] : s(0) = s(1) = 0 \text{ e } s|_{[x_i, x_{i+1}]} \in P_1 \right\} \quad (10)$$

Cada Spline em $S_{2,n}^0[0, 1]$ é uma função contínua em $[0, 1]$ se anulando nos extremos e coincidindo com uma reta entre cada dois nós. De forma que cada Spline fica unicamente determinado através de seus nós $x_1 \dots x_n$.

Formar uma base neste dito espaço vetorial requer funções "chapeus" $\phi_i(x)$ que valem 0 fora de $[x_{i-1}, x_{i+1}]$, $\phi_i(x) = (x - x_{i-1})/h$ em $[x_{i-1}, x_i]$ e $\phi_i(x) = (x_{i+1} - x)/h$ em $[x_i, x_{i+1}]$. O primeiro intervalo é chamado suporte da função ϕ_i pois fora dele a função se anula. Em elementos finitos, procura-se bases com suportes pequenos. Em resumo pode-se definir as funções ϕ :

$$\phi_i(x) = \begin{cases} 0, & 0 \leq x \leq x_{i-1} \\ \frac{x - x_{i-1}}{h_{i-1}}, & x_{i-1} < x \leq x_i \\ \frac{x_{i+1} - x}{h_i}, & x_i < x \leq x_{i+1} \\ 0, & x_{i+1} < x \leq 1 \end{cases} \quad (11)$$

A intersecção entre interiores de suportes ϕ_i e ϕ_j será não nula apenas se $|i - j| \leq 1$. Isso resulta que $\langle \phi_i, \phi_j \rangle_L = 0$ se $|i - j| > 1$. Isso torna o sistema (9) uma matriz tridiagonal.

Além disto tem-se que :

$$\langle f, \phi_i \rangle = \int_0^1 f(x) \phi_i(x) dx = \int_{x_{i-1}}^{x_{i+1}} f(x) \phi_i(x) dx \quad (12)$$

Observe ainda que $\phi'_i(x)$ é nula fora de $[x_{i-1}, x_{i+1}]$, vale $1/h$ em (x_{i-1}, x_i) e $-1/h$ em (x_i, x_{i+1}) . No caso em que $k(x) = 1$ e $q(x) = 0$ a matriz do sistema é tridiagonal com valores $2/h$ na diagonal principal e $-1/h$ nas diagonais vizinhas a esta.

2.6 Montagem da Matriz e Solução do Sistema

Para efetuar a montagem da matriz, basta a avaliação dos produtos internos $\langle f, \phi_i \rangle$ e $\langle \phi_i, \phi_j \rangle_L$ - estes apenas para a diagonal principal e as diagonais secundárias inferior e superior.

Sendo os produtos internos $\langle \phi_i, \phi_i \rangle_L$ na diagonal principal dados por:

$$\begin{aligned} b_i &= \int_0^1 \left\{ p(x) [\phi'_i(x)]^2 + q(x) [\phi_i(x)]^2 \right\} dx \\ &= \left(\frac{1}{h_{i-1}} \right)^2 \int_{x_{i-1}}^{x_i} p(x) dx + \left(\frac{-1}{h_i} \right)^2 \int_{x_i}^{x_{i+1}} p(x) dx \\ &\quad + \left(\frac{1}{h_{i-1}} \right)^2 \int_{x_{i-1}}^{x_i} (x - x_{i-1})^2 q(x) dx + \left(\frac{1}{h_i} \right)^2 \int_{x_i}^{x_{i+1}} (x_{i+1} - x)^2 q(x) dx, \end{aligned} \quad (13)$$

Enquanto os produtos da diagonal superior $\langle \phi_i, \phi_{i+1} \rangle_L$ (ou seja para $i = 1, \dots, n-1$):

$$\begin{aligned} c_i &= \int_0^1 \left\{ p(x) \phi'_i(x) \phi'_{i+1}(x) + q(x) \phi_i(x) \phi_{i+1}(x) \right\} dx \\ &= - \left(\frac{1}{h_i} \right)^2 \int_{x_i}^{x_{i+1}} p(x) dx + \left(\frac{1}{h_i} \right)^2 \int_{x_i}^{x_{i+1}} (x_{i+1} - x) (x - x_i) q(x) dx \end{aligned} \quad (14)$$

E, por fim os produtos internos da diagonal inferior $\langle \phi_i, \phi_{i-1} \rangle_L$ (ou seja, para $i = 1, \dots, n$):

$$\begin{aligned} a_i &= \int_0^1 \left\{ p(x) \phi'_i(x) \phi'_{i-1}(x) + q(x) \phi_i(x) \phi_{i-1}(x) \right\} dx \\ &= - \left(\frac{1}{h_{i-1}} \right)^2 \int_{x_{i-1}}^{x_i} p(x) dx + \left(\frac{1}{h_{i-1}} \right)^2 \int_{x_{i-1}}^{x_i} (x_i - x) (x - x_{i-1}) q(x) dx \end{aligned} \quad (15)$$

E, por fim pode-se definir o produto entre $f(x)$ e ϕ como:

$$d_i = \int_0^1 f(x) \phi_i(x) dx = \frac{1}{h_{i-1}} \int_{x_{i-1}}^{x_i} (x - x_{i-1}) f(x) dx + \frac{1}{h_i} \int_{x_i}^{x_{i+1}} (x_{i+1} - x) f(x) dx \quad (16)$$

Montado o sistema tridiagonal, resolve-se o sistema pelo método LU, obtendo uma solução $\bar{u}_n(x) = \sum_{i=1}^n \alpha_i \phi_i(x)$ de (8) $\forall v \in U_0$ que melhor aproxima a solução de $u(x)$ em (8) e consequentemente em (5). Ao aumentar-se o valor de n e reduzir o valor de h , refina-se a aproximação e, se $u(x)$ for suficientemente diferenciável teremos que $\|\bar{u}_n(x) - u(x)\| = O(h^2)$.

2.7 Condições de Fronteiras Não Homogêneas e Intervalo

Para tratar o problema de fronteiras não homogêneas, trata-se o caso como um homogêneo pela seguinte equação:

$$L(v(x)) = f(x) + (b - a)k'(x) - q(x)(a + (b - a)x) = \tilde{f}(x), v(0) = v(1) = 0 \quad (17)$$

Neste caso pode-se mostrar que $u(x) = v(x) + a + (b - a)x$ é a solução da equação (5) com as condições de fronteiras não homogêneas $u(0) = a$ e $u(1) = b$.

$$L(v(x)) = f(x) + (b - a)k'(x) - q(x)(a + (b - a)x) = \tilde{f}(x) \quad (18)$$

para $v(0) = v(1) = 0$ tem-se

$$L(v(x)) = L(u(x)) + L(+a) + L((b - a)x) \quad (19)$$

Considerando $L(u(x)) = f(x)$, $L(+a) = 0$, $L((b - a)x) = k'(x)(b - a) + q(x)(b - a)x$ e $u(x) = v(x) + a + (b - a)x$ tal que segue o seguinte resultado :

$$L(u(x)) = L(v(x)) + L(a) + L((b - a)x) \quad (20)$$

Provando que $L(u(x))$ é uma transformação linear e que a equação mencionada para $v(x)$ é solução para a equação de métodos finitos utilizada.

Quando o intervalo para a equação diferencial for $[0, L]$, usamos splines lineares neste intervalo com nós igualmente espaçados tomando-se $h = L/(n + 1)$ e $x_i = ih$, $i = 0, 1, \dots, n + 1$.

Para obter as expressões para a base formada por funções chapéu adaptadas para as condições de contorno não homogêneas, basta adaptar o valor de \mathbf{h} . Assim, substituindo x em $[0, 1]$ e $L(u(x))$ por x em $[0, L]$ e $L(u(\frac{x}{L}))$ respectivamente teremos a transformação desejada.

Para $x \in (0, 1)$; $u(0) = u(1) = 0$

$$L(u(x)) = (-k(x) \cdot u'(x))' + q(x) \cdot u(x) = f(x) \quad (21)$$

e para $x \in (0, L)$:

$$\begin{aligned} g(x) &= L(u(\frac{x}{L})) = (-k(\frac{x}{L}) \cdot u'(\frac{x}{L}))' \\ g(x) &= -k'(\frac{x}{L}) \cdot \frac{1}{L} \cdot u'(\frac{x}{L}) - k(\frac{x}{L}) \cdot u''(\frac{x}{L}) \cdot \frac{1}{L} \\ g(x) &= L(u(\frac{x}{L})) = \frac{L(u(x))}{L} \end{aligned} \quad (22)$$

Assim obtendo as relações necessárias para efetuar as bases das funções chapéu.

3 Implementação do Código

3.1 Algoritmo

O algoritmo desejado, descrito no enunciado do exercício programa, pede que se implemente um método para o cálculo da função de distribuição de calor para um chip de dimensões $L \times L \times h$ em contato com uma parede isolante e um resfriador, utilizando o método de elementos finitos com o método de solução de Ritz-Raleigh para resolução do problema. Para tais tarefas faz-se uso dos dois exercícios programas efetuados anteriormente, para criação de uma matriz tridiagonal cujos termos são todos produtos internos equacionados utilizando o método de integração gaussiana e posteriormente, resolvendo a matriz com o método LU. Também elabora-se formas de trabalhar estas resoluções em condições não homogêneas e em diferentes intervalos.

De forma geral, é demandado no exercício além da resolução de duas tarefas de validação, as quais já contém a maioria das variáveis a ser usadas em sua forma mais simples, a fim de averiguar a funcionalidade do código. Em seguida, são propostas duas tarefas com vários testes possíveis em cada uma delas: a primeira para averiguar como diferenças na função Q_+ e Q_- podem afetar o padrão de distribuição geral de calor pelo chip; a segunda refere-se a situação de parâmetro de entrada não homogêneo - cria-se uma variação no K e conseqüentemente em ρ e C avaliando mais uma vez como estas diferenças causa interferências na distribuição de calor.

3.2 Metodologia aplicada

O algoritmo aplicado para a resolução desse exercício programa segue a seguinte linha de raciocínio:

- Em primeiro cria-se funções capazes de efetuar os produtos internos necessários para execução do método dos elementos finitos com o auxílio do código do exercício programa II, pela integração gaussiana.
- Em seguida, formam-se vetores com os dados das matrizes para resolução do sistema linear para se encontrar $\bar{u}_n(x)$ (solução mais próxima para a equação) com o auxílio do código do exercício programa I, método LU de resolução de matrizes.
- Por fim efetuam-se as partes para as particularidades mencionadas nas partes de equilíbrios tanto de forças quanto de material não homogêneo para diversas condições a fim de possibilitar as análises descritas na seção 4.

A seguir será destrinchado cada um destes seguimentos de raciocínio, subdividido pelas tarefas a serem realizadas: Validação, Equilíbrio com forçantes de Calor e Equilíbrio com variação de material.

3.3 Método de elementos finitos

Nesta primeira parte do código, dedicou-se a construir o método de resolução por elementos finitos, com base nos códigos antigos, mencionados na metodologia.

```
1 import numpy as np
2
3 # Resolve sistema tridiagonais
```

```

4 def sistemaTridiagLU(a, b, c, d, n):
5     """
6     a: vetor de coeficientes da diagonal secundaria inferior
7     b: vetor de coeficientes da diagonal principal
8     c: vetor de coeficientes da diagonal secundaria superior
9     d: vetor resultado
10    n: dimensão do sistema nxn
11
12    """
13    # Calcula vetores u e l
14    u = [b[0]]
15    l = []
16    for i in range(1, n):
17        l.append(a[i] / u[i - 1])
18        u.append(b[i] - l[i - 1] * c[i - 1])
19
20    # Calcula solução de L*y = d
21    y = [d[0]]
22    for i in range(1, n):
23        y.append(d[i] - l[i - 1] * y[i - 1])
24
25    # Calcula solução de U*x = y
26    x = [0] * n
27    x[n - 1] = y[n - 1] / u[n - 1]
28    for i in reversed(range(0, n - 1)):
29        x[i] = (y[i] - c[i] * x[i + 1]) / u[i]
30
31    return x
32
33
34 # Calculo da integral simples ou dupla
35 def integral_simples_ou_dupla(
36     f, a, b, pontos_e_pesos_x, c=lambda x: 0, d=lambda x: 1,
37     pontos_e_pesos_y=None
38 ):
39     """
40     f: função de x e y a ser integrada
41     a: limite inferior do intervalo de integração em x
42     b: limite superior do intervalo de integração em x
43     pontos_e_pesos_x: pontos e pesos para o método de Gauss em x (
44     deve ser da forma [(ponto1, peso1), (ponto2, peso2), ...].)
45     c: limite inferior do intervalo de integração em y (função de x)
46     d: limite superior do intervalo de integração em y (função de x)
47     pontos_e_pesos_y: pontos e pesos para o método de Gauss em y (
48     deve ser da forma [(ponto1, peso1), (ponto2, peso2), ...].)
49
50     """
51
52     pontos_e_pesos_y = (
53         pontos_e_pesos_x if pontos_e_pesos_y is None else
54         pontos_e_pesos_y

```

```

51 )
52
53 I = 0
54 for x_i, w_i in pontos_e_pesos_x:
55     # troca de variavel de x para o intervalo [a,b]
56     x_i = (a + b) / 2 + (b - a) * x_i / 2
57     F = 0
58     for y_ij, w_ij in pontos_e_pesos_y:
59         # troca de variavel de y para o intervalo [c(x_i),d(x_i)]
60     ]
61         y_ij = (c(x_i) + d(x_i)) / 2 + (d(x_i) - c(x_i)) * y_ij
62     / 2
63         F += w_ij * f(x_i, y_ij) * (d(x_i) - c(x_i)) / 2
64     I += w_i * F * (b - a) / 2
65
66 return I

```

O listing acima apresenta o início do código que consta basicamente na junção dos últimos exercícios programas para o método de solução de matrizes LU e o método de integração de Gauss para integrais duplas e simples.

Em seguida, trabalhou-se na primeira parte citada na metodologia: efetuar os produtos internos para montar o sistema (9), criando uma função para a resolução do produto interno da diagonal principal (13), outras duas para as diagonais secundárias superior (14) e inferior (14) e uma última para os produtos de $f(x)$ e as funções $\phi(x)$ (16)- todos utilizando as funções do exercício programa dois para a integração de gauss para integral simples.

```

1 def calcula_produto_interno_phi_diagonal_principal(
2     k, q, past_xi, current_xi, next_xi, h, pontos_e_pesos_phi
3 ):
4     """
5     k: função k(x)
6     q: função q(x)
7     past_xi: xi[i-1], xi anterior
8     current_xi: xi[i], xi atual
9     next_xi: xi[i+1], xi posterior
10    h: tamanho do intervalo
11    pontos_e_pesos_phi: pontos e pesos para o método de Gauss em phi
12    (deve ser da forma [(ponto1, peso1), (ponto2, peso2), ...].)
13
14    """
15
16    # Calcula o produto interno de phii e phii
17    phii_phii_1 = lambda x, y: k(x, y) + (x - past_xi) ** 2 * q(x, y)
18
19    phii_phii_2 = lambda x, y: k(x, y) + (next_xi - x) ** 2 * q(x, y)
20
21    return (1 / h) ** 2 * (
22        integral_simples_ou_dupla(
23            phii_phii_1, past_xi, current_xi, pontos_e_pesos_phi
24        ) # intervalo de integração [past_xi, current_xi]
25        + integral_simples_ou_dupla(

```

```

23         phii_phii_2, current_xi, next_xi, pontos_e_pesos_phi
24     ) # intervalo de integração [current_xi, next_xi]
25 )
26
27
28 def calcula_produto_interno_phis_diagonal_secundaria_inferior(
29     k, q, past_xi, current_xi, h, pontos_e_pesos_phi
30 ):
31     """
32     k: função k(x)
33     q: função q(x)
34     past_xi: xi[i-1], xi anterior
35     current_xi: xi[i], xi atual
36     h: tamanho do intervalo
37     pontos_e_pesos_phi: pontos e pesos para o método de Gauss em phi
38     (deve ser da forma [(ponto1, peso1), (ponto2, peso2), ...].)
39     """
40
41     # Calcula o produto interno de phii e phii+1
42     phii_phij = lambda x, y: k(x, y) + (current_xi - x) * (x -
43     past_xi) * q(x, y)
44     return -((1 / h) ** 2) * integral_simples_ou_dupla(
45         phii_phij, past_xi, current_xi, pontos_e_pesos_phi
46     ) # intervalo de integração [past_xi, current_xi]
47
48
49 def calcula_produto_interno_phis_diagonal_secundaria_superior(
50     k, q, current_xi, next_xi, h, pontos_e_pesos_phi
51 ):
52     """
53     k: função k(x)
54     q: função q(x)
55     current_xi: xi[i], xi atual
56     next_xi: xi[i+1], xi posterior
57     h: tamanho do intervalo
58     pontos_e_pesos_phi: pontos e pesos para o método de Gauss em phi
59     (deve ser da forma [(ponto1, peso1), (ponto2, peso2), ...].)
60     """
61
62     # Calcula o produto interno de phii e phii-1
63     phij_phii = lambda x, y: k(x, y) + (next_xi - x) * (x -
64     current_xi) * q(x, y)
65     return -((1 / h) ** 2) * integral_simples_ou_dupla(
66         phij_phii, current_xi, next_xi, pontos_e_pesos_phi
67     ) # intervalo de integração [current_xi, next_xi]
68
69
70 def calcula_produto_interno_f_phi(
71     f, past_xi, current_xi, next_xi, h, pontos_e_pesos_phi
72 ):
73     """

```

```

70     f: função f(x)
71     past_xi: xi[i-1], xi anterior
72     current_xi: xi[i], xi atual
73     next_xi: xi[i+1], xi posterior
74     h: tamanho do intervalo
75     pontos_e_pesos_phi: pontos e pesos para o método de Gauss em phi
76     (deve ser da forma [(ponto1, peso1), (ponto2, peso2), ...].)
77     """
78     # Calcula o produto interno de f(x) e phii
79     f_phii1 = lambda x, y: (x - past_xi) * f(x, y)
80     f_phii2 = lambda x, y: (next_xi - x) * f(x, y)
81     return (
82         1
83         / h
84         * (
85             integral_simples_ou_dupla(f_phii1, past_xi, current_xi,
86             pontos_e_pesos_phi)
87             + integral_simples_ou_dupla(
88                 f_phii2, current_xi, next_xi, pontos_e_pesos_phi
89             )
90         )
91     )
92

```

Feito os produtos internos, seguiu-se para uma função que armazena estes em vetores e utiliza a função `def sistemaTridiagLU` para efetuar a solução do sistema (9):

```

1  def sol_sistema_linear_tridiagonal(f, k, q, n, pontos_e_pesos_phi, L
2      =1):
3      """
4      f: função f(x)
5      k: função k(x)
6      q: função q(x)
7      n: número de pontos
8      pontos_e_pesos_phi: pontos e pesos para o método de Gauss em phi
9      (deve ser da forma [(ponto1, peso1), (ponto2, peso2), ...].)
10     L: opcional, define interval [0,L]
11     """
12
13     h = L / (n + 1)
14     xi = [i * h for i in range(n + 2)]
15
16     # Vetores do sistema linear (tridigonal)
17     b = [] # diagonal principal
18     a = [] # diagonal secundária inferior
19     c = [] # diagonal secundária superior
20     d = [] # vetor de termos independentes
21     for i in range(n):
22         past_xi = xi[i]
23         current_xi = xi[i + 1]

```

```

22     next_xi = xi[i + 2]
23
24     b.append(
25         calcula_produto_interno_phis_diagonal_principal(
26             k, q, past_xi, current_xi, next_xi, h,
pontos_e_pesos_phi
27         )
28     )
29     a.append(
30
31         calcula_produto_interno_phis_diagonal_secundaria_inferior(
32             k, q, past_xi, current_xi, h, pontos_e_pesos_phi
33         )
34     )
35     c.append(
36
37         calcula_produto_interno_phis_diagonal_secundaria_superior(
38             k, q, current_xi, next_xi, h, pontos_e_pesos_phi
39         )
40     )
41     d.append(
42         calcula_produto_interno_f_phi(
43             f, past_xi, current_xi, next_xi, h,
pontos_e_pesos_phi
44         )
45     )
46
47     # Resolve o sistema linear
48     alphas = np.array(sistemaTridiagLU(a, b, c, d, n))
49
50     return alphas

```

Para obter os valores de cada uma das funções ϕ_i utilizou-se as equações descritas em (25) da seguinte forma:

```

1
2 def phi(x, xi, i, h):
3     """
4     x: valor de x
5     xi: vetor de pontos
6     i: índice do ponto de xi
7     h: tamanho do intervalo
8     """
9
10    if xi[i - 1] < x <= xi[i]:
11        return (x - xi[i - 1]) / h
12    elif xi[i] < x <= xi[i + 1]:
13        return (xi[i + 1] - x) / h
14    else:
15        return 0

```

16
17

Com os valores de α_i obtidos como solução do sistema, obtêm-se os valores de $\bar{u}_n(x)$ pela expressão $\bar{u}_n(x) = \sum_{i=1}^n \alpha_i \phi_i(x)$ e, em seguida é possível calcular o maior erro $\|\bar{u}_n - u\| = \max_{i=1, \dots, n} |\bar{u}_n(x_i) - u(x_i)|$.

```

1 def u_barra(x, alphas, xi, h):
2     """
3     x: valor de x
4     alphas: vetor de alphas
5     xi: vetor de pontos
6     h: tamanho do intervalo
7
8     """
9
10    u_barra = 0
11    for i in range(len(alphas)):
12        u_barra += alphas[i] * phi(x, xi, i + 1, h)
13    return u_barra
14
15
16
17 def maior_erro(n, u_exato, alphas, L=1):
18     """
19     n: número de pontos
20     u_exato: função u(x)
21     alphas: vetor de alphas
22     L: opcional, define interval [0,L]
23     """
24
25     h = L / (n + 1)
26     xi = [i * h for i in range(n + 2)]
27     erro_max = 0
28     u_barra_erro_max = 0
29     u_exato_erro_max = 0
30     for x in xi:
31         if abs(u_exato(x) - u_barra(x, alphas, xi, h)) > erro_max:
32             erro_max = abs(u_exato(x) - u_barra(x, alphas, xi, h))
33             u_barra_erro_max = u_barra(x, alphas, xi, h)
34             u_exato_erro_max = u_exato(x)
35     return erro_max, u_barra_erro_max, u_exato_erro_max

```

Para o caso não homogêneo $u(0) = a$ e $u(1) = b$ temos $\bar{u}_n^{a,b}(x) = \bar{u}_n(x) + \frac{a+(b-a)x}{L}$

```

1 def u_barra_nao_homogenea(x, a, b, alphas, xi, h, L=1):
2     """
3     x: valor de x
4     a: valor de u(0)
5     b: valor de u(L)
6     alphas: vetor de alphas
7     xi: vetor de pontos
8     h: tamanho do intervalo

```



```

9
10     """
11     return u_barra(x, alphas, xi, h) + (a + (b - a) * x) / L

```

3.4 Modo I

Determinadas todas as funções necessárias para a implementação do método de elementos finitos, separou-se o código principal em 4 modos. O primeiro deles é dedicado a realizar a seguinte validação do método proposto:

4.2 Validação

No primeiro passo do projeto você deve implementar o método de elementos finitos (veja Seção 3) para resolver a equação (4) com $q(x) \equiv 0$, no intervalo $[0, L]$ e condições de contorno $u(0) = a$, $u(L) = b$. Teste o programa com o exemplo no intervalo $[0, 1]$ onde $k(x) = 1$, $q(x) = 0$, $f(x) = 12x(1 - x) - 2$, com condições de contorno homogêneas. Neste caso, a solução exata é $u(x) = x^2(1 - x)^2$. Verifique que a convergência do método é de segunda ordem² calculando as aproximações com $n = 7, 15, 31$ e 63 , avaliando em cada caso $\|\bar{u}_n - u\| = \max_{i=1, \dots, n} |\bar{u}_n(x_i) - u(x_i)|$. Descreva esta análise no relatório.

Figura 1: Enunciado primeiro exercício de validação

```

1  if modo == 1:
2      print(
3          "\nModo 1 - Validação no intervalo [0,1] com k(x)=1, q(x)=0,
4          f(x)=12x(1-x)-2"
5      )
6      print("\nSolução exata u(x) = (x**2 *(1 - x)**2)")
7      print("\nParametros: \nk(x)=1, \nq(x)=0, \nf(x)=12x(1-x)-2")
8
9      input("\n\nAvaliando o máximo erro nos pontos xi para diferentes
10      n's:")
11
12      for n in [7, 15, 31, 63]: # números de pontos
13
14          print(f"\nn={n} —>")
15
16          f = lambda x, y: 12 * x * (1 - x) - 2 # função f(x)
17          k = lambda x, y: 1 # função k(x)
18          q = lambda x, y: 0 # função q(x)
19          u_exato = lambda x: x**2 * (1 - x) ** 2 # solução exata
20          alphas = sol_sistema_linear_tridiagonal(
21              f, k, q, n, n10
22          ) # solução do sistema
23
24          erro_max, u_barra_erro_max, u_exato_erro_max = maior_erro(
25              n, u_exato, alphas
26          )
27          print(
28              f"u_barra = {u_barra_erro_max:.22f} ; u_exato = {
29              u_exato_erro_max:.22f}; erro = {erro_max:.22f}"
30          )

```

```

28
29 input("\nPressione Enter para ver todos os erros calculados.")
30 for n in [7, 15, 31, 63]:
31
32     print(f"\nn={n} —>")
33
34     alphas = sol_sistema_linear_tridiagonal(
35         f, k, q, n, n10
36     ) # solução do sistema
37     L = 1
38     h = L / (n + 1)
39     xi = [i * h for i in range(n + 2)]
40     u_barra_lista = []
41     for x in xi:
42         u_barra_lista.append(u_barra(x, alphas, xi, h))
43         print(
44             f"x = {x:.4f} ; u_barra = {u_barra(x, alphas, xi, h)
45             :.22f} ; u_exato = {u_exato(x):.22f}; erro = {u_barra(x, alphas, xi
46             , h) - u_exato(x):.22f}"
47         )
48         u_exato_lista = [u_exato(x) for x in np.linspace(0, 1)]
49
50     plt.plot(xi, u_barra_lista, label="$u$")
51     plt.plot(np.linspace(0, 1), u_exato_lista, label="$\overline{u}_n$")
52     plt.legend()
53     plt.grid()
54     plt.ylabel("$u(x)$")
55     plt.xlabel("$x$")
56     plt.show()
57
58 input("\n\nAvaliando o erro nos pontos  $p=(x[i-1]-x_i)/2$  para
59 diferentes  $n$ 's:")
60
61 for n in [7, 15, 31, 63]: # números de pontos
62
63     print(f"\nn={n} —>")
64
65     f = lambda x, y: 12 * x * (1 - x) - 2 # função f(x)
66     k = lambda x, y: 1 # função k(x)
67     q = lambda x, y: 0 # função q(x)
68     u_exato = lambda x: x**2 * (1 - x) ** 2 # solução exata
69     alphas = sol_sistema_linear_tridiagonal(
70         f, k, q, n, n10
71     ) # solução do sistema
72
73     h = L / (n + 1)
74     xi = [i * h for i in range(n + 2)]
75
76     # testando em nos pontos pi
77     P_i = [0.33, 0.47, 0.66, 0.72]

```

```

75         for x in P_i:
76             print(
77                 f"x = {x:.4f} ; u_barra = {u_barra(x, alphas, xi, h)
78                 :.22f} ; u_exato = {u_exato(x):.22f}; erro = {u_barra(x, alphas, xi
, h) - u_exato(x):.22f}"
)

```

O modo é dividido em 3 partes. Primeiramente, são calculados os erros máximos para cada n . Depois, todos o cálculo dos erros de cada n para cada ponto x_i é impresso, juntamente com um gráfico comparando a solução obtida com a solução exata. Por fim, são calculados os valores e erros para os pontos $P_i = [0.33, 0.47, 0.66, 0.72]$

3.5 Modo II

Para o segundo modo, trabalhou-se em realizar uma segunda validação, sugerida à parte do enunciado do exercício:

Complemento para a Seção 4.2

Para verificar se o seu código está funcionando corretamente, sugerimos o seguinte teste adicional para a resolução da equação (4):

Teste o programa com o exemplo no intervalo $[0, 1]$ onde $k(x) = e^x$, $q(x) = 0$, $f(x) = e^x + 1$, com condições de contorno homogêneas. Neste caso, a solução exata é $u(x) = (x-1)(e^{-x} - 1)$. Verifique que a convergência do método é de segunda ordem¹ calculando as aproximações com $n = 7, 15, 31$ e 63 , avaliando em cada caso $\|\bar{u}_n - u\| = \max_{i=1, \dots, n} |\bar{u}_n(x_i) - u(x_i)|$. Descreva esta análise no relatório.

Figura 2: Enunciado exercício extra de validação

```

1 elif modo == 2:
2     print(
3         "\nModo 2 - Validação no intervalo [0,1] com k(x)=e**x, q(x)
4         =0, f(x)=e**(x)+1"
5     )
6     print("\nSolução exata u(x) = (x-1)*(e**(-x) - 1)")
7     print("\nParametros: \nk(x)=1, \nq(x)=0, \nf(x)=e**(x)+1")
8     input("\n\nAvaliando o máximo erro para diferentes n's:")
9
10    for n in [7, 15, 31, 63]: # números de pontos
11
12        print(f"\nn={n} —>")
13
14        f = lambda x, y: np.exp(x) + 1 # função f(x)
15        k = lambda x, y: np.exp(x) # função k(x)
16        q = lambda x, y: 0 # função q(x)
17        u_exato = lambda x: (x - 1) * (np.exp(-x) - 1) # solução
18        exata
19        alphas = sol_sistema_linear_tridiagonal(
20            f, k, q, n, n10
21        ) # solução do sistema

```

```

22     erro_max, u_barra_erro_max, u_exato_erro_max = maior_erro(
23         n, u_exato, alphas
24     )
25     print(
26         f"u_barra = {u_barra_erro_max:.22f} ; u_exato = {
27         u_exato_erro_max:.22f}; erro = {erro_max:.22f}"
28     )
29     input("\nPressione Enter para ver todos os erros calculados.")
30     for n in [7, 15, 31, 63]:
31
32         print(f"\nn={n} —>")
33
34         alphas = sol_sistema_linear_tridiagonal(
35             f, k, q, n, n10
36         ) # solução do sistema
37         L = 1
38         h = L / (n + 1)
39         xi = [i * h for i in range(n + 2)]
40         u_barra_lista = []
41         for x in xi:
42             u_barra_lista.append(u_barra(x, alphas, xi, h))
43             print(
44                 f"x = {x:.4f} ; u_barra = {u_barra(x, alphas, xi, h)
45                 :.22f} ; u_exato = {u_exato(x):.22f}; erro = {u_barra(x, alphas, xi
46                 , h) - u_exato(x):.22f}"
47             )
48             u_exato_lista = [u_exato(x) for x in np.linspace(0, 1)]
49
50             plt.plot(xi, u_barra_lista, label="$u$")
51             plt.plot(np.linspace(0, 1), u_exato_lista, label="$\overline{u}_n$")
52             plt.legend()
53             plt.grid()
54             plt.ylabel("$u(x)$")
55             plt.xlabel("$x$")
56             plt.show()

```

O modo é dividido em 2 partes. Primeiramente, são calculados os erros máximos para cada n . Depois, todos o cálculo dos erros de cada n para cada ponto x_i é impresso juntamente com um gráfico comparando a solução obtida com a solução exata.

3.6 Modo III

Nesta parte , buscou-se utilizar as funções criadas e validadas para resolução da seguinte situação apontada

4.3 Equilíbrio com forçantes de calor

Vamos considerar que o chip seja formado apenas de silício ($k(x) = k = 3,6W/(mK)$), considerando que há produção de calor pelo chip e que exista resfriamento. Vamos assumir que o chip esquentar mais em sua parte central que nas bordas, o que pode ser modelado por uma Gaussiana da seguinte forma,

$$Q_+(x) = Q_+^0 e^{-(x-L/2)^2/\sigma^2} \quad (9)$$

com Q_+^0 uma constante indicando o máximo de calor gerado no centro do chip e σ controlando a variação de geração de calor em torno do ponto central do chip. Se σ for muito pequeno, podemos ter um calor gerado praticamente somente no centro do chip.

Quanto ao resfriamento, podemos modelar de forma análoga, ou, por exemplo, assumir que o resfriamento se dá de forma uniforme ($Q_-(x) = Q_-^0$ constante), ou ainda que o resfriamento seja mais intenso próximo dos extremos, usando

$$Q_-(x) = Q_-^0 \left(e^{-(x)^2/\theta^2} + e^{-(x-L)^2/\theta^2} \right). \quad (10)$$

Figura 3: Enunciado equilíbrio de forçantes de calor

Como mencionado na seção 2 deste relatório, podemos estudar o comportamento da distribuição de calor no conjunto chip e resfriador separando funções de calor gerado pelo chip Q_+ e o calor retirado pelo resfriador Q_- , cuja soma, em equilíbrio deve sempre se igualar a zero.

O exercício nos propõem a seguinte função de calor:

$$Q(x) = Q_+(x) - Q_-(x) \quad (23)$$

Onde

$$\begin{aligned} Q_+(x) &= Q_+^0 e^{-(x-L/2)^2/\sigma^2} \\ Q_-(x) &= Q_-^0 \left(e^{-(x)^2/\theta^2} + e^{-(x-L)^2/\theta^2} \right) \end{aligned} \quad (24)$$

De tal forma que é possível tecer análises sobre o comportamento da distribuição e retirada de calor no chip variando os parâmetros $Q_+^0, Q_-^0, \sigma, \theta$. Os casos estudados estão documentados em gráficos dispostos na Seção 4 deste relatório e incluem, para condições de contorno homogêneas, como se comporta funções de calor constantes (variando apenas o valor de Q_+^0, Q_-^0), e não constantes (avaliando o efeito de σ e θ na distribuição de calor).

Portanto, este modo consiste em várias pequenas resoluções, variando levemente os parâmetros de entrada. Os primeiros quatro casos são os em que as funções Q são constantes - $Q_+(x) = Q_+^0$ e $Q_-(x) = Q_-^0$ - variando-se os valores para os casos

$$Q(x) = \begin{cases} Q_+(x) - Q_-(x) = 2000, & \text{ou seja } Q_+(x) \text{ maior que } Q_-(x) \\ Q_+(x) - Q_-(x) = -2000, & \text{ou seja } Q_-(x) \text{ maior que } Q_+(x) \\ Q_+(x) - Q_-(x) = 20000, & \text{ou seja } Q_+(x) \text{ muito maior que } Q_-(x) \\ Q_+(x) - Q_-(x) = -20000, & \text{ou seja } Q_-(x) \text{ muito maior que } Q_+(x) \end{cases} \quad (25)$$

```

1 elif modo == 3:
2     print("\nModo 3 - Equilíbrio com forçantes de calor")
3     print("\nParametros: \nk(x)=3.6, \nq(x)=0, \nf(x)=Q(x)")
4     print(
5         "\nSendo Q(x) representa a soma do calor gerado pelo chip (Q
6         +) e o calor retirado pelo resfriador (Q-)")

```

```

7  print("\n\nVariando parametros:")
8
9  print(
10     "\n  Q+ e Q- constantes e Q+ > Q- (portanto Q(x) constante e
      maior que zero)"
11 )
12 input(" Parametros: Q+ - Q- = 2000")
13
14 n = 63
15 f = lambda x, y: 2000 # função f(x)
16 k = lambda x, y: 3.6 # função k(x)
17 q = lambda x, y: 0 # função q(x)
18 alphas = sol_sistema_linear_tridiagonal(f, k, q, n, n10) # solu
      ção do sistema
19
20 L = 1
21 h = L / (n + 1)
22 xi = [i * h for i in range(n + 2)]
23 u_barra_lista = []
24 for x in xi:
25     u_barra_lista.append(u_barra(x, alphas, xi, h))
26     print(f"x = {x:.4f} ; u_barra = {u_barra(x, alphas, xi, h):.22 f
      }")
27
28 plt.plot(xi, u_barra_lista, label="$T(x)$")
29 plt.legend()
30 plt.grid()
31 plt.show()
32
33 print("\n\n  Q+ e Q- constantes e Q+ >>> Q-")
34 input(" Parametros: Q+ - Q- = 20000")
35
36 n = 63
37 f = lambda x, y: 20000 # função f(x)
38 k = lambda x, y: 3.6 # função k(x)
39 q = lambda x, y: 0 # função q(x)
40 alphas = sol_sistema_linear_tridiagonal(f, k, q, n, n10) # solu
      ção do sistema
41
42 L = 1
43 h = L / (n + 1)
44 xi = [i * h for i in range(n + 2)]
45 u_barra_lista = []
46 for x in xi:
47     u_barra_lista.append(u_barra(x, alphas, xi, h))
48     print(f"x = {x:.4f} ; u_barra = {u_barra(x, alphas, xi, h):.22 f
      }")
49
50 plt.plot(xi, u_barra_lista, label="$T(x)$")
51 plt.legend()
52 plt.grid()

```

```

53 plt.show()
54
55 print(
56     "\n\n Q+ e Q- constantes e Q+ < Q- (portanto Q(x) constante
    e menor que zero)"
57 )
58 input(" Parametros: Q+ - Q- = -2000")
59
60 n = 63
61 f = lambda x, y: -2000 # função f(x)
62 k = lambda x, y: 3.6 # função k(x)
63 q = lambda x, y: 0 # função q(x)
64 alphas = sol_sistema_linear_tridiagonal(f, k, q, n, n10) # solu
    ção do sistema
65
66 L = 1
67 h = L / (n + 1)
68 xi = [i * h for i in range(n + 2)]
69 u_barra_lista = []
70 for x in xi:
71     u_barra_lista.append(u_barra(x, alphas, xi, h))
72     print(f"x = {x:.4f} ; u_barra = {u_barra(x, alphas, xi, h):.22f
    }")
73
74 plt.plot(xi, u_barra_lista, label="$T(x)$")
75 plt.legend()
76 plt.grid()
77 plt.show()
78
79 print("\n\n Q+ e Q- constantes e Q+ <<< Q-")
80 input(" Parametros: Q+ - Q- = -20000")
81
82 n = 63
83 f = lambda x, y: -20000 # função f(x)
84 k = lambda x, y: 3.6 # função k(x)
85 q = lambda x, y: 0 # função q(x)
86 alphas = sol_sistema_linear_tridiagonal(f, k, q, n, n10) # solu
    ção do sistema
87
88 L = 1
89 h = L / (n + 1)
90 xi = [i * h for i in range(n + 2)]
91 u_barra_lista = []
92 for x in xi:
93     u_barra_lista.append(u_barra(x, alphas, xi, h))
94     print(f"x = {x:.4f} ; u_barra = {u_barra(x, alphas, xi, h):.22f
    }")
95
96 plt.plot(xi, u_barra_lista, label="$T(x)$")
97 plt.legend()
98 plt.grid()

```

```
99 plt.show()
```

Então, segue-se com resoluções onde apenas a expressão de $Q_+(x)$ é considerada, com:

$$Q(x) = Q_+(x) = Q_+^0 e^{-(x-L/2)^2/\sigma^2} \quad (26)$$

Sendo $Q_+^0 = 2000$, $L = 1$, variando os valores de $\sigma = 0.05, 0.1, 0.25, 0.5, 1, 5$.

```
1 print("\n\n Q+ modelado por Q+(x) = Q+0 * e**(-(x-L/2)**2/sigma**2 e
  Q-=0.")
2 print(" Variando sigma")
3 input("\n Parametros: Q+0 = 2000, L=1, sigma = variando , Q-0 = 0")
4 n = 63
5 Q0 = 2000
6 sigmas = [0.05, 0.1, 0.25, 0.5, 1, 5]
7 L = 1
8 Q_0 = 0
9 for sigma in sigmas:
10     f = (
11         lambda x, y: Q0 * np.e ** ( -((x - L / 2) ** 2) / sigma**2) -
12         Q_0
13     ) # função f(x)
14     k = lambda x, y: 3.6 # função k(x)
15     q = lambda x, y: 0 # função q(x)
16     alphas = sol_sistema_linear_tridiagonal(
17         f, k, q, n, n10
18     ) # solução do sistema
19     h = L / (n + 1)
20     xi = [i * h for i in range(n + 2)]
21     u_barra_lista = []
22     for x in xi:
23         u_barra_lista.append(u_barra(x, alphas, xi, h))
24     print(f"x = {x:.4f} ; u_barra = {u_barra(x, alphas, xi, h):.22 f
25           }")
26     plt.plot(xi, u_barra_lista, label="$\sigma=$" + str(sigma))
27 plt.legend()
28 plt.grid()
29 plt.show()
```

Segue-se para resoluções onde apenas a expressão de $Q_-(x)$ é considerada, com:

$$Q(x) = Q_-(x) = Q_-^0 \left(e^{-(x)^2/\theta^2} + e^{-(x-L)^2/\theta^2} \right) \quad (27)$$

Sendo $Q_-^0 = 2000$, $L = 1$, variando os valores de $\theta = 0.05, 0.1, 0.25, 0.5, 1, 5$.

```
1 print(
2     "\n\n Q+=0 e Q- modelado por Q-(x) = Q-0 * (e**(-x**2/
3     e**(-(x-L)**2/
4 )
5 print("Variando theta")
6 input("\n Parametros: Q+0 = 0, L=1, theta = variando , Q-0 = 2000")
```



```

6
7 n = 63
8 Q0 = 0
9 thetas = [0.05, 0.1, 0.25, 0.5, 1, 5]
10 L = 1
11 Q_0 = 2000
12 for theta in thetas:
13     f = lambda x, y: Q0 - (
14         Q_0
15         * (
16             np.e ** (-(x**2) / theta**2)
17             + np.e ** (-(x - L) ** 2) / theta**2)
18         )
19     # função f(x)
20     k = lambda x, y: 3.6 # função k(x)
21     q = lambda x, y: 0 # função q(x)
22     alphas = sol_sistema_linear_tridiagonal(
23         f, k, q, n, n10
24     ) # solução do sistema
25
26     L = 1
27     h = L / (n + 1)
28     xi = [i * h for i in range(n + 2)]
29     u_barra_lista = []
30     for x in xi:
31         u_barra_lista.append(u_barra(x, alphas, xi, h))
32     print(f"x = {x:.4f} ; u_barra = {u_barra(x, alphas, xi, h):.22 f
33         }")
34     plt.plot(xi, u_barra_lista, label="$\u03B8=$" + str(theta))
35 plt.legend()
36 plt.grid()
37 plt.show()

```

Segue-se para resoluções onde ambas as expressões de $Q_+(x)$ e $Q_-(x)$ é considerada, com:

$$Q(x) = Q_+(x) - Q_-(x)$$

$$Q(x) = Q_+^0 e^{-(x-L/2)^2/\sigma^2} - Q_-^0 \left(e^{-(x)^2/\theta^2} + e^{-(x-L)^2/\theta^2} \right)$$

Sendo $Q_+^0 = 2000$, $Q_-^0 = 1000$, $L = 1$, variando os valores de $\theta = 0.1, 5$ e de $\sigma = 0.1, 5$.

```

1 print(
2     "\n\n Q+ modelado por Q+(x) = Q+0 * e**-(x-L/2)**2/sigma**2 e Q
   - modelado por Q-(x) = Q-0 * (e**(-x**2/    **2) + e**(-(x-L)**2/
   /**2)). "
3 )
4 print("Variando sigma e theta.")
5 input(
6     "\n Parametros: Q+0 = 2000, L=1, sigma = variando, theta =
   variando, Q-0 = 1000 "

```

```

7 )
8
9 n = 63
10 L = 1
11 Q0 = 2000
12 thetas = [0.1, 5]
13 sigmas = [0.1, 5]
14 L = 1
15 Q_0 = 1000
16 for theta in thetas:
17     for sigma in sigmas:
18         f = lambda x, y: Q0 * np.e ** ( -((x - L / 2) ** 2) / sigma
19             **2) - (
20                 Q_0
21                 * (
22                     np.e ** (-(x**2) / theta**2)
23                     + np.e ** (-(x - L) ** 2) / theta**2)
24             ) # função f(x)
25         k = lambda x, y: 3.6 # função k(x)
26         q = lambda x, y: 0 # função q(x)
27         alphas = sol_sistema_linear_tridiagonal(
28             f, k, q, n, n10
29         ) # solução do sistema
30
31         h = L / (n + 1)
32         xi = [i * h for i in range(n + 2)]
33         u_barra_lista = []
34         for x in xi:
35             u_barra_lista.append(u_barra(x, alphas, xi, h))
36         print(f"x = {x:.4f} ; u_barra = {u_barra(x, alphas, xi, h)
37             :.22f}")
38
39         plt.plot(
40             xi,
41             u_barra_lista,
42             label="$\\u03B8=$" + str(theta) + " $\\sigma=$" + str(
43                 sigma),
44             )
45 plt.legend()
46 plt.grid()
47 plt.show()

```

Por fim, a última sequência de análises é feita comparando o comportamento da distribuição de calor para situações não homogêneas (intervalo de $[0, L]$ e $u(x)$ não nulo nos contornos), com $Q(x)$ dado pelas expressões de Q_+ e Q_-

Considerou-se, $Q_+^0 = 2000$, $Q_-^0 = 1000$, $\theta = 0.1$, $\sigma = 0.1$, $T(0) = 298.15$, variando $T(L) = 298.15, 328.15, 398.15$ e $L = 0.1, 0.5, 1, 5$.

```

1 print(
2     "\n\n Q+ modelado por Q+(x) = Q+0 * e**-(x-L/2)**2/sigma**2 e Q
    - modelado por Q-(x) = Q-0 * (e**(-x**2/    **2) + e**(-(x-L)**2/

```

```

3 )
4 print("Variando condições de contorno e L")
5 input(
6     "\n Parametros: Q+0 = 2000, L=1, sigma = 0.1, theta = 0.1, Q-0
    = 1000, T(0)=298.15, T(L) = 389.15"
7 )
8
9 T0 = 298.15
10 T1s = [298.15, 328.15, 398.15]
11 n = 63
12 Ls = [0.1, 0.5, 1, 5]
13 Q0 = 2000
14 theta = 0.1
15 sigma = 0.1
16 Q_0 = 1000
17 for L in Ls:
18     f = lambda x, y: Q0 * np.e ** ( -((x - L / 2) ** 2) / sigma**2) -
19     (
20         Q_0
21         * (
22             np.e ** ( -(x**2) / theta**2)
23             + np.e ** ( -(x - L) ** 2) / theta**2)
24     ) # função f(x)
25     k = lambda x, y: 3.6 # função k(x)
26     q = lambda x, y: 0 # função q(x)
27     alphas = sol_sistema_linear_tridiagonal(
28         f, k, q, n, n10
29     ) # solução do sistema
30
31     h = L / (n + 1)
32     xi = [i * h for i in range(n + 2)]
33     for T1 in T1s:
34         u_barra_lista = []
35         for x in xi:
36             u_barra_lista.append(
37                 u_barra_nao_homogenea(x, T0, T1, alphas, xi, h)
38             )
39         print(
40             f"x = {x:.4f} ; u_barra = {u_barra_nao_homogenea(x,
41             T0,T1, alphas,xi,h):.22f}"
42         )
43         plt.plot(
44             xi,
45             u_barra_lista,
46             label="$T(0)=$" + str(T0) + " e $T(L)=$" + str(T1),
47         )
48     plt.legend()
49     plt.grid()

```

```
50 plt.show()
```

Todas essas soluções possibilitaram a criação dos gráficos e análises elaboradas na conclusão deste relatório.

3.7 Modo IV

Nesta parte, mais uma vez se utiliza dos métodos elaborados neste exercício programa para resoluções na seguinte situação-problema:

4.4 Equilíbrio com variação de material

Suponha agora que no bloco do processador tenhamos o chip, formado de silício, envolto por outro material. Isso faz com que k dependa de x , por exemplo como

$$k(x) = \begin{cases} k_s, & \text{se } x \in (L/2 - d, L/2 + d), \\ k_a, & \text{caso contrário,} \end{cases} \quad (11)$$

sendo k_s a condutividade térmica do silício e k_a a do material que envolve o chip e forma o bloco.

Usando o seu código de elementos finitos você pode verificar, por exemplo, o que acontece se o material que envolve o chip for alumínio ($k_a = 60W/mK$), ou outros materiais. Inclua essa análise no relatório.

Figura 4: Enunciado equilíbrio com variação de material

Para conseguir elaborar uma análise sobre como a variação do material afeta o resultado na distribuição de calor escolheram-se outros 2 materiais para serem testados além do alumínio sugerido um com valores de k muito inferior ao silício (espuma de poliestireno $K_e = 0,03W/(mK)$) e outra muito superior (prata $K_p = 429W/(mK)$).

Além disso variou-se também o tamanho que está faixa de outro material, variando d para um valor relativamente fino (um décimo do comprimento) e grosso (um terço do comprimento).

O código implementado segue a seguinte ordem: primeiro efetuar o cálculo para k externo com $d = L/3$ e depois com $d = L/10$ na ordem alumínio, prata e espuma de poliestireno. Para todas as contas utilizou-se a função $Q(x) = Q_+(x) - Q_-(x)$ com ambos σ e θ igual a 1, $Q_+(x) = 2000$, $Q_-(x) = 1000$, $L = 1$ e $n=63$. Todos os resultados são impressos junto com seus respectivos gráficos.

```
1 elif modo == 4:
2     print("\nModo 4 - Equilibrio com variacao de material")
3     print("\nAnalisando caso em que k(x)=k com k variando")
4     input("\nParametros: \n L=1, q(x)=0, theta=1, sigma=1, Q+0=2,Q
-0=2 f(x)=Q(x) ")
5
6     n = 63
7     ks = [0.5, 1, 3.6, 36]
8     Q0 = 2000
9     theta = 0.1
10    sigma = 0.1
11    L = 1
12    Q_0 = 1000
13    f = lambda x, y: Q0 * np.e ** (-(x - L / 2) ** 2) / sigma**2) -
14    (
        Q_0
```

```

15         * (
16             np.e ** (-(x**2) / theta**2)
17             + np.e ** (-(x - L) ** 2) / theta**2)
18     )
19 ) # função f(x)
20 q = lambda x, y: 0 # função q(x)
21 for k in ks:
22     kx = lambda x, y: k # função k(x)
23     alphas = sol_sistema_linear_tridiagonal(
24         f, kx, q, n, n10
25     ) # solução do sistema
26
27     L = 1
28     h = L / (n + 1)
29     xi = [i * h for i in range(n + 2)]
30     u_barra_lista = []
31     for x in xi:
32         u_barra_lista.append(u_barra(x, alphas, xi, h))
33     print(f"x = {x:.4f} ; u_barra = {u_barra(x, alphas, xi, h)
34         :.22f}")
35
36     plt.plot(xi, u_barra_lista, label="$k= $" + str(k))
37     plt.grid()
38     plt.legend()
39     plt.ylabel("$T(x)$")
40     plt.xlabel("$x$")
41     plt.show()
42
43     print("\nAnalisando para k(x)=ks se L/2-d<x<l/2+d e k(x)=ka caso
44     contrario")
45     input("\nParametros: \nks=3.6, ka=60, L=1, d=L/10, q(x)=0, \nf(x)
46     =Q(x) ")
47
48     n = 63
49     Q0 = 2000
50     theta = 0.1
51     sigma = 0.1
52     L = 1
53     Q_0 = 1000
54     f = lambda x, y: Q0 * np.e ** (-(x - L / 2) ** 2) / sigma**2) -
55     (
56         Q_0
57         * (
58             np.e ** (-(x**2) / theta**2)
59             + np.e ** (-(x - L) ** 2) / theta**2)
60         )
61     ) # função f(x)
62
63     def k(x, y): # função k(x)
64         L = 1
65         d = L / 10 # L/3

```

```

62     ka = 60
63     ks = 3.6
64     if L / 2 - d < x < L / 2 + d:
65         return ks
66     else:
67         return ka
68
69     q = lambda x, y: 0 # função q(x)
70     alphas = sol_sistema_linear_tridiagonal(f, k, q, n, n10) # solu
71     ção do sistema
72
73     L = 1
74     h = L / (n + 1)
75     xi = [i * h for i in range(n + 2)]
76     u_barra_lista = []
77     for x in xi:
78         u_barra_lista.append(u_barra(x, alphas, xi, h))
79         print(f"x = {x:.4f} ; u_barra = {u_barra(x, alphas, xi, h):.22f
80         })
81
82     plt.plot(xi, u_barra_lista, label="$d=L/10$, $k_a=60$")
83
84     print("\nParametros: \nks=3.6, ka=60, L=1, d=L/3, q(x)=0, \nf(x)
85     =Q(x)")
86     input("\nk(x)=ks se L/2-d<x<l/2+d e k(x)=ka caso contrario")
87
88     n = 63
89     Q0 = 2000
90     theta = 0.1
91     sigma = 0.1
92     L = 1
93     Q_0 = 1000
94     f = lambda x, y: Q0 * np.e ** (-(x - L / 2) ** 2) / sigma**2) -
95     (
96         Q_0
97         * (
98             np.e ** (-(x**2) / theta**2)
99             + np.e ** (-(x - L) ** 2) / theta**2)
100         )
101     ) # função f(x) # função f(x)
102
103     def k(x, y): # função k(x)
104         L = 1
105         d = L / 3 # L/3
106         ka = 60
107         ks = 3.6
108         if L / 2 - d < x < L / 2 + d:
109             return ks
110         else:
111             return ka

```

```

109 q = lambda x, y: 0 # função q(x)
110 alphas = sol_sistema_linear_tridiagonal(f, k, q, n, n10) # solu
    ção do sistema
111
112 L = 1
113 h = L / (n + 1)
114 xi = [i * h for i in range(n + 2)]
115 u_barra_lista = []
116 for x in xi:
117     u_barra_lista.append(u_barra(x, alphas, xi, h))
118     print(f"x = {x:.4f} ; u_barra = {u_barra(x, alphas, xi, h):.22f
    }")
119
120 plt.plot(xi, u_barra_lista, label="$d=L/3$, $k_a=60$")
121 plt.legend()
122 plt.grid()
123 plt.ylabel("$T(x)$")
124 plt.xlabel("$x$")
125 plt.show()
126
127 input("\nParametros: \nks=3.6, ka=429, L=1, d=L/10, q(x)=0, \nf(
    x)=Q(x)")
128
129 n = 63
130 Q0 = 2000
131 theta = 0.1
132 sigma = 0.1
133 L = 1
134 Q_0 = 1000
135 f = lambda x, y: Q0 * np.e ** ( -((x - L / 2) ** 2) / sigma**2) -
    (
136     Q_0
137     * (
138         np.e ** ( -(x**2) / theta**2)
139         + np.e ** ( -(x - L) ** 2) / theta**2)
140     )
141 ) # função f(x) # função f(x)
142
143 def k(x, y): # função k(x)
144     L = 1
145     d = L / 10 # L/3
146     ka = 429
147     ks = 3.6
148     if L / 2 - d < x < L / 2 + d:
149         return ks
150     else:
151         return ka
152
153 q = lambda x, y: 0 # função q(x)
154 alphas = sol_sistema_linear_tridiagonal(f, k, q, n, n10) # solu
    ção do sistema

```

```

155
156 L = 1
157 h = L / (n + 1)
158 xi = [i * h for i in range(n + 2)]
159 u_barra_lista = []
160 for x in xi:
161     u_barra_lista.append(u_barra(x, alphas, xi, h))
162     print(f"x = {x:.4f} ; u_barra = {u_barra(x, alphas, xi, h):.22 f
163 }")
164
165 plt.plot(xi, u_barra_lista, label="$d=L/10$, $k_a=429$")
166
167 print("\nParametros: \nks=3.6, ka=429, L=1, d=L/3, q(x)=0, \nf(x)
168 =Q(x)")
169 input("\nk(x)=ks se L/2-d<x<1/2+d e k(x)=ka caso contrario")
170
171 n = 63
172 Q0 = 2000
173 theta = 0.1
174 sigma = 0.1
175 L = 1
176 Q_0 = 1000
177 f = lambda x, y: Q0 * np.e ** (-(x - L / 2) ** 2) / sigma**2) -
178 (
179     Q_0
180     * (
181         np.e ** (-(x**2) / theta**2)
182         + np.e ** (-(x - L) ** 2) / theta**2)
183     )
184 ) # função f(x) # função f(x)
185
186 def k(x, y): # função k(x)
187     L = 1
188     d = L / 3 # L/3
189     ka = 429
190     ks = 3.6
191     if L / 2 - d < x < L / 2 + d:
192         return ks
193     else:
194         return ka
195
196 q = lambda x, y: 0 # função q(x)
197 alphas = sol_sistema_linear_tridiagonal(f, k, q, n, n10) # solu
198 ção do sistema
199
200 L = 1
201 h = L / (n + 1)
202 xi = [i * h for i in range(n + 2)]
203 u_barra_lista = []
204 for x in xi:
205     u_barra_lista.append(u_barra(x, alphas, xi, h))

```



```

202     print(f"x = {x:.4f} ; u_barra = {u_barra(x, alphas, xi, h):.22 f
    }")
203
204     plt.plot(xi, u_barra_lista, label="$d=L/3$, $k_a=429$")
205     plt.legend()
206     plt.grid()
207     plt.ylabel("$T(x)$")
208     plt.xlabel("$x$")
209     plt.show()
210
211     input("\nParametros: \nks=3.6, ka=0.03, L=1, d=L/10, q(x)=0, \nf
    (x)=Q(x)")
212
213     n = 63
214     Q0 = 2000
215     theta = 0.1
216     sigma = 0.1
217     L = 1
218     Q_0 = 1000
219     f = lambda x, y: Q0 * np.e ** ( -((x - L / 2) ** 2) / sigma**2) -
    (
220         Q_0
221         * (
222             np.e ** ( -(x**2) / theta**2)
223             + np.e ** ( -((x - L) ** 2) / theta**2)
224         )
225     ) # função f(x) # função f(x)
226
227     def k(x, y): # função k(x)
228         L = 1
229         d = L / 10 # L/3
230         ka = 0.03
231         ks = 3.6
232         if L / 2 - d < x < L / 2 + d:
233             return ks
234         else:
235             return ka
236
237     q = lambda x, y: 0 # função q(x)
238     alphas = sol_sistema_linear_tridiagonal(f, k, q, n, n10) # solu
    ção do sistema
239
240     L = 1
241     h = L / (n + 1)
242     xi = [i * h for i in range(n + 2)]
243     u_barra_lista = []
244     for x in xi:
245         u_barra_lista.append(u_barra(x, alphas, xi, h))
246         print(f"x = {x:.4f} ; u_barra = {u_barra(x, alphas, xi, h):.22 f
    }")
247

```

```

248 plt.plot(xi, u_barra_lista, label="$d=L/10$, $k_a=0.03$")
249
250 print("\nParametros: \nks=3.6, ka=0.03, L=1, d=L/3, q(x)=0, \nf(
x)=Q(x)")
251 input("\nk(x)=ks se L/2-d<x<l/2+d e k(x)=ka caso contrario")
252
253 n = 63
254 Q0 = 2000
255 theta = 0.1
256 sigma = 0.1
257 L = 1
258 Q_0 = 1000
259 f = lambda x, y: Q0 * np.e ** ( -((x - L / 2) ** 2) / sigma**2) -
(
260     Q_0
261     * (
262         np.e ** ( -(x**2) / theta**2)
263         + np.e ** ( -(x - L) ** 2) / theta**2)
264     )
265 ) # função f(x) # função f(x)
266
267 def k(x, y): # função k(x)
268     L = 1
269     d = L / 3 # L/3
270     ka = 0.03
271     ks = 3.6
272     if (L / 2 - d) < x and x < (L / 2 + d):
273         return ks
274     else:
275         return ka
276
277 q = lambda x, y: 0 # função q(x)
278 alphas = sol_sistema_linear_tridiagonal(f, k, q, n, n10) # solu
ção do sistema
279
280 L = 1
281 h = L / (n + 1)
282 xi = [i * h for i in range(n + 2)]
283 u_barra_lista = []
284 for x in xi:
285     u_barra_lista.append(u_barra(x, alphas, xi, h))
286     print(f"x = {x:.4f} ; u_barra = {u_barra(x, alphas, xi, h):.22 f
}")
287
288 plt.plot(xi, u_barra_lista, label="$d=L/3$, $k_a=0.03$")
289 plt.legend()
290 plt.grid()
291 plt.ylabel("$T(x)$")
292 plt.xlabel("$x$")
293 plt.show()

```

4 Conclusão

4.1 Resultados

Seguem abaixo os resultados e comentários sobre os devidos outputs testados para verificação dos códigos apresentados neste exercício programa.

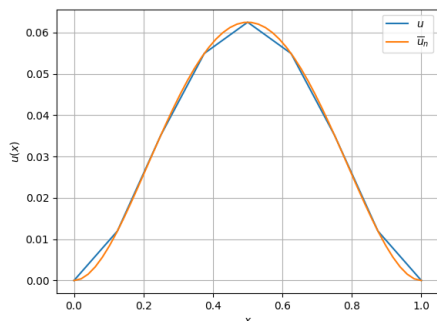
4.1.1 Modo I

Os resultados obtidos para o máximo erro da expressão $\|\bar{u}_n - u\| = \max_{i=1,\dots,n} |\bar{u}_n(x_i) - u(x_i)|$ para $n = 7, 15, 31, 63$ são:

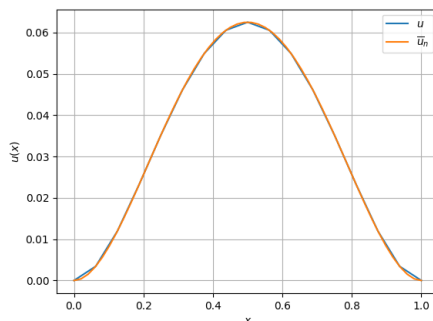
```
Avaliando o máximo erro nos pontos xi para diferentes n's:  
  
n=7 -->  
u_barra = 0.00000000000000000000 ; u_exato = 0.00000000000000000000; erro = 0.00000000000000000000  
  
n=15 -->  
u_barra = 0.0605621337890624028555 ; u_exato = 0.0605621337890625000000; erro = 0.000000000000000971445  
  
n=31 -->  
u_barra = 0.0620126724243160523664 ; u_exato = 0.0620126724243164062500; erro = 0.000000000000003538836  
  
n=63 -->  
u_barra = 0.0461578369140620906053 ; u_exato = 0.0461578369140625000000; erro = 0.000000000000004093947
```

Figura 5: Saídas primeiro exercício de validação

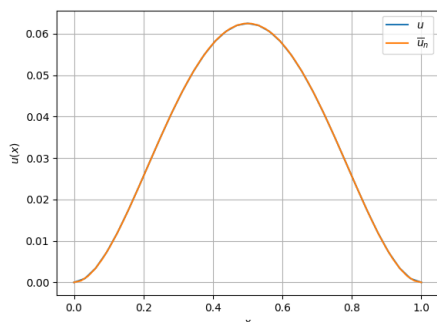
Percebe-se que os resultado difere do esperado, sendo os erros obtidos crescentes conforme n aumenta. Entretanto, criando gráficos dos \bar{u}_n obtidos, percebemos há convergência:



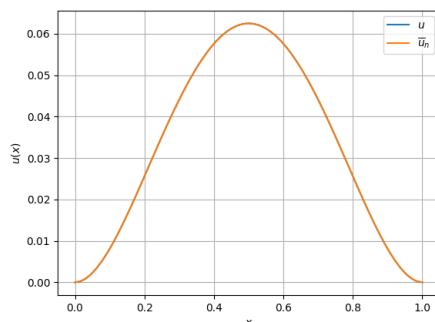
(a) u e \bar{u}_n em função de x para $n=7$



(b) u e \bar{u}_n em função de x para $n=15$



(c) u e \bar{u}_n em função de x para $n=31$



(d) u e \bar{u}_n em função de x para $n=63$

Figura 6: gráficos de análise de convergência

Assim, podemos analisar pontos que estejam entre os nós x_i para verificar a diminuição do erro. Como exemplo, utilizando os pontos $P_i = 0.33, 0.47, 0.66, 0.72$ os resultados percebe-se a redução do erro com o aumento do n :

```
n=7 -->
x = 0.3300 ; u_barra = 0.047812500000000008327 ; u_exato = 0.0488852099999999983870; erro = -0.0010727099999999975544
x = 0.4700 ; u_barra = 0.0606835937500000005551 ; u_exato = 0.0620508100000000048513; erro = -0.0013672162500000042962
x = 0.6600 ; u_barra = 0.0493945312499999983347 ; u_exato = 0.0503553599999999948467; erro = -0.0009608287499999965120
x = 0.7200 ; u_barra = 0.03990234375000000063838 ; u_exato = 0.0406425600000000011858; erro = -0.0007402162499999948020

n=15 -->
x = 0.3300 ; u_barra = 0.0486145019531249167333 ; u_exato = 0.0488852099999999983870; erro = -0.0002707080468750816538
x = 0.4700 ; u_barra = 0.0615698242187499923004 ; u_exato = 0.0620508100000000048513; erro = -0.0004809857812501025509
x = 0.6600 ; u_barra = 0.0500183105468749306111 ; u_exato = 0.0503553599999999948467; erro = -0.0003370494531250642356
x = 0.7200 ; u_barra = 0.0404370117187499433786 ; u_exato = 0.0406425600000000011858; erro = -0.0002055482812500578071

n=31 -->
x = 0.3300 ; u_barra = 0.0488072967529293993971 ; u_exato = 0.0488852099999999983870; erro = -0.0000779132470705989899
x = 0.4700 ; u_barra = 0.0620321655273433983369 ; u_exato = 0.0620508100000000048513; erro = -0.0000186444726566065144
x = 0.6600 ; u_barra = 0.0503212738037106116495 ; u_exato = 0.0503553599999999948467; erro = -0.0000340861962893831971
x = 0.7200 ; u_barra = 0.0406356811523434849343 ; u_exato = 0.0406425600000000011858; erro = -0.0000068788476565162515

n=63 -->
x = 0.3300 ; u_barra = 0.0488765859603877833583 ; u_exato = 0.0488852099999999983870; erro = -0.0000086240396122159287
x = 0.4700 ; u_barra = 0.0620418977737423951724 ; u_exato = 0.0620508100000000048513; erro = -0.0000089122262576096789
x = 0.6600 ; u_barra = 0.0503401708602903702472 ; u_exato = 0.0503553599999999948467; erro = -0.0000151891397096245995
x = 0.7200 ; u_barra = 0.0406390047073363139263 ; u_exato = 0.0406425600000000011858; erro = -0.000003552926636872595
```

Figura 7: Erros para P_i primeiro exercício de validação

4.1.2 Modo II

Os resultados obtidos para o máximo erro da expressão $\|\bar{u}_n - u\| = \max_{i=1,\dots,n} |\bar{u}_n(x_i) - u(x_i)|$ para $n = 7, 15, 31, 63$ são:

```
Avaliando o máximo erro para diferentes n's:

n=7 -->
u_barra = 0.1953456538986507728950 ; u_exato = 0.1954442807556423388515; erro = 0.0000985468569915659565

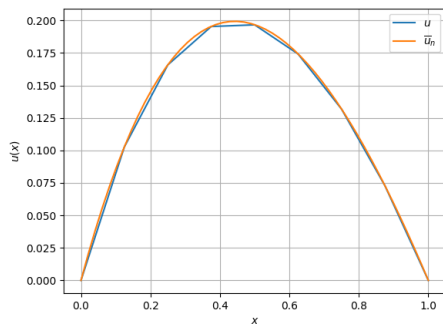
n=15 -->
u_barra = 0.1992978887681065569559 ; u_exato = 0.1993227038843107257193; erro = 0.0000248151162041687634

n=31 -->
u_barra = 0.1982210201687935047232 ; u_exato = 0.1982272311448041168802; erro = 0.0000062109760106121570

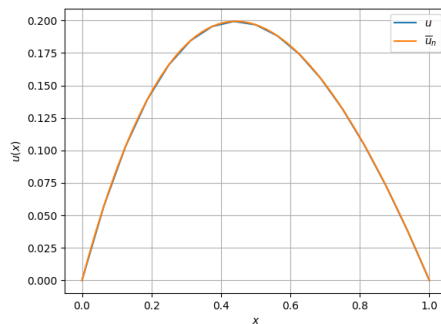
n=63 -->
u_barra = 0.1989798148463083615756 ; u_exato = 0.1989813684836631568764; erro = 0.0000015536373547953009
```

Figura 8: Enunciado primeiro exercício de validação

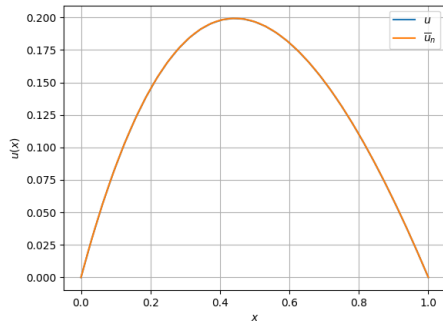
Percebe-se que o erro decai como esperado. O decaimento também é observado nos gráficos gerados:



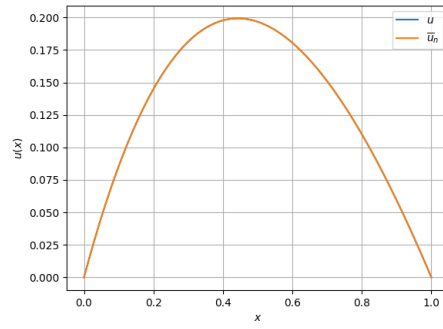
(a) u e \bar{u}_n em função de x para $n=7$



(b) u e \bar{u}_n em função de x para $n=15$



(c) u e \bar{u}_n em função de x para $n=31$



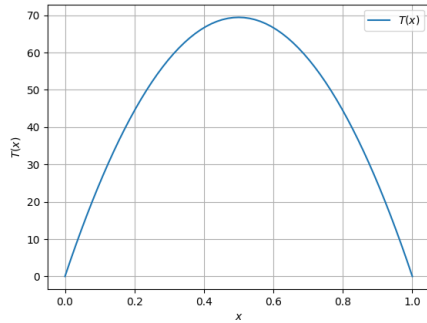
(d) u e \bar{u}_n em função de x para $n=63$

Figura 9: Análise de convergência

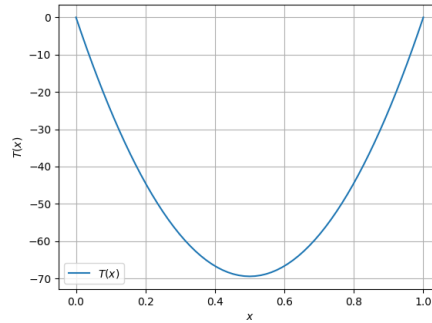
4.1.3 Modo III

Os resultados para a primeira sessão de variações (Q^0 contantes, variando entre Q_+^0 e Q_-^0 serem maiores e muito maiores entre si) estão impressos nos gráficos mostrados na Figura 10.

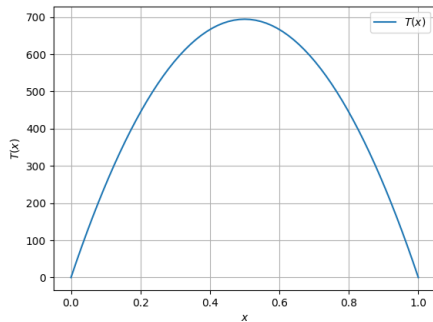
Observa-se que a influência de Q_+ ou Q_- ser muito maior um que o outro afeta apenas a ordem de grandeza da temperatura ao longo do chip. Quando Q_+ é maior, há concentrações de calor no centro do chip e quando o contrário ocorre os pontos de concentração se situam nos extremos do chip.



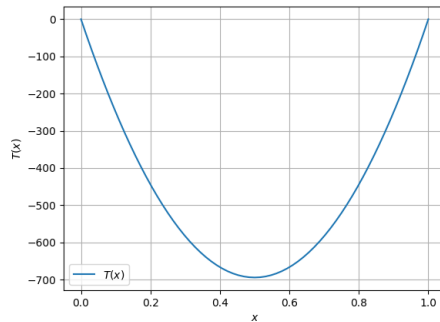
(a) Q_+ maior que Q_-



(b) Q_- maior que Q_+



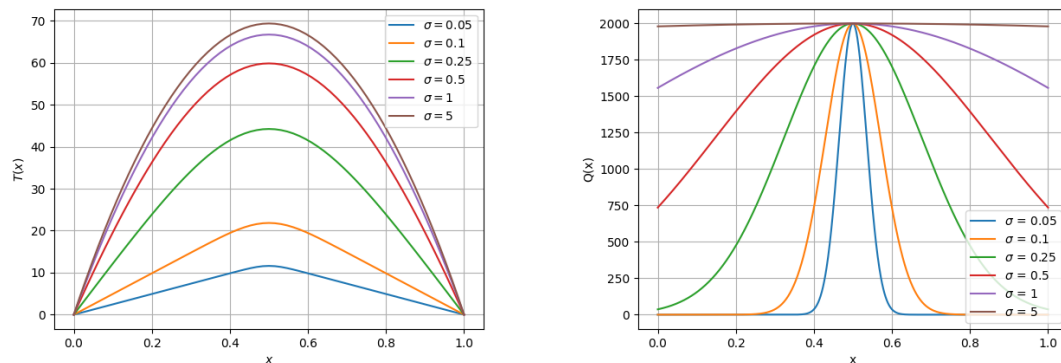
(c) Q_+ muito maior que Q_-



(d) Q_- muito maior que Q_+

Figura 10: Análise da influência de $Q_{+/-}^0$ na distribuição de calor

Quanto à segunda bateria de soluções, gráficos da temperatura e da distribuição de calor ao longo do chip foram utilizados, sendo os gráficos referentes a temperatura tirada do código e os referentes ao calor feitos para a análise do relatório:

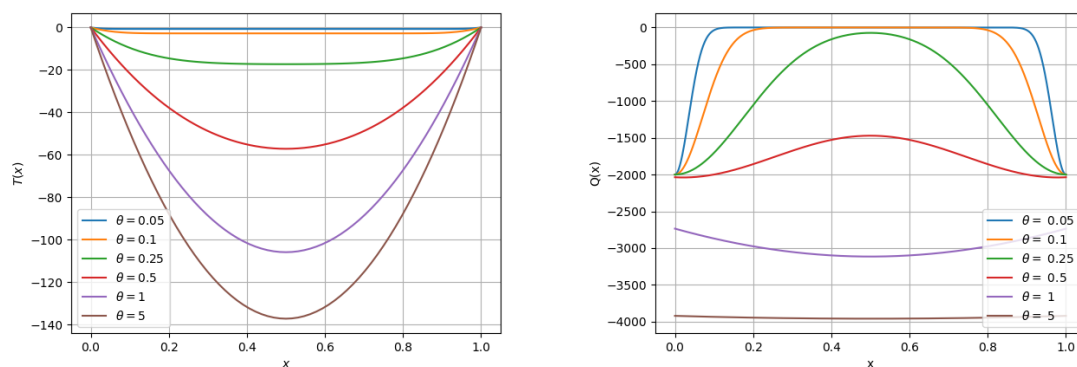


(a) Temperatura em função de x com variações de σ para baixos valores de $Q(x)$ (b) Temperatura em função de x com variações de σ para altos valores de $Q(x)$

Figura 11: Análise da influência de σ na distribuição de temperatura

Analisa-se, primeiramente os casos em que $Q(x) = Q_+(x)$. Pelos resultados obtidos é possível notar que a influência da variação de σ ocorre no quesito de concentração de calor no chip. Para valores muito próximos de zero as temperaturas geradas são menores e com amplitude menores, vale notar que para valores menores que 0.1 a tendência é que a curva de distribuição de calor pelo chip perca o formato de parábola e fique cada vez menor. Para valores maiores a amplitude aumenta e a distribuição assume o formato de parábolas com amplitudes crescentes. Percebe-se, também, que conforme os valores de σ aumentam, as parábolas tendem a convergir a um formato.

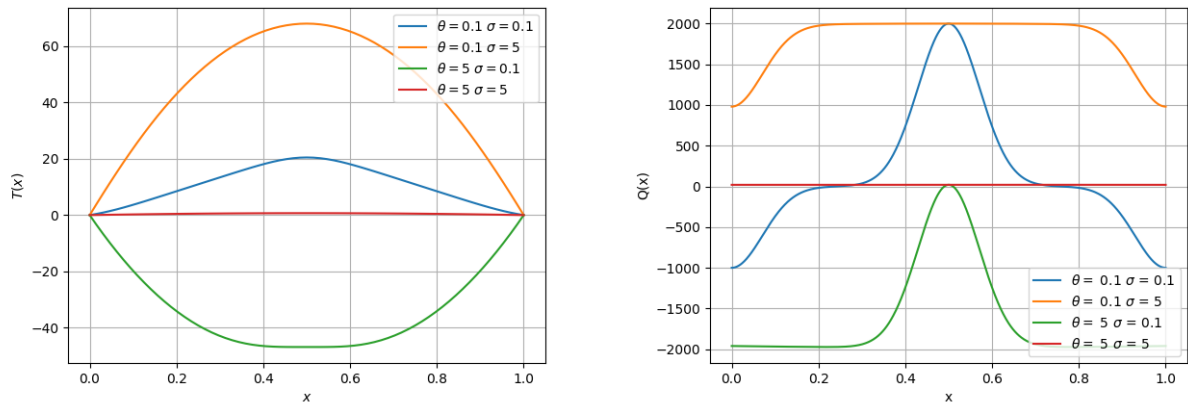
Os resultado para a temperatura em função de x são condizentes com o esperado pela análise da distribuição de calor. Para sigmas pequenos, calor fica mais concentrado no centro do chip e para sigmas mais altos a função se aproxima de uma reta, fazendo com que a curva da temperatura se aproxime do caso em que a expressão de $Q(x)$ é constante.



(a) Temperatura em função de x com variações de θ para baixos valores em módulo de $Q(x)$ (b) Temperatura em função de x com variação de θ para altos valores em módulo de $Q(x)$

Figura 12: Análise da influência de θ na distribuição de temperatura

Analisando os casos em que $Q(x) = -Q_-(x)$, percebe-se que, ao variar os valores de θ a temperatura cai ao longo do chip, tendo sua curva de variação no formato de uma parábola com concavidade para baixo e com seu mínimo no ponto $\frac{L}{2}$. Ao se reduzir o valor de θ percebe-se o achatamento da curva até o ponto em que esta se aproxima de reta. Comparando, então, com gráfico da distribuição do calor pelo chip, tem-se que com θ pequeno, o calor se mantém por um maior comprimento em valores próximos de 0, correspondendo assim com o achatamento da parábola no gráfico a). Além disso, semelhante ao caso de σ , com o aumento de θ a curva de calor se aproxima de uma reta de valor constante e, com isso, a curva de temperatura se aproxima do caso em que $Q(x) = -Q_-(x)$ com $-Q_-(x)$ constante.

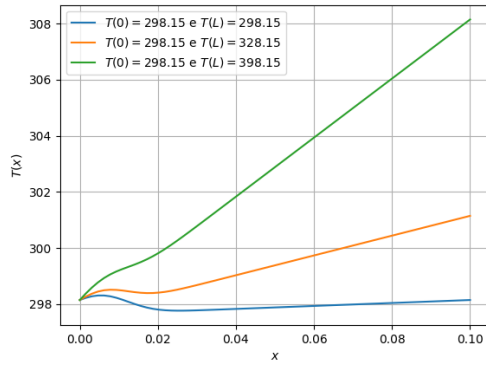


(a) Temperatura em função de x com variação de ambos σ e θ para baixos valores de $Q(x)$ (b) Temperatura em função de x com variações de ambos σ e θ para baixos valores de $Q(x)$

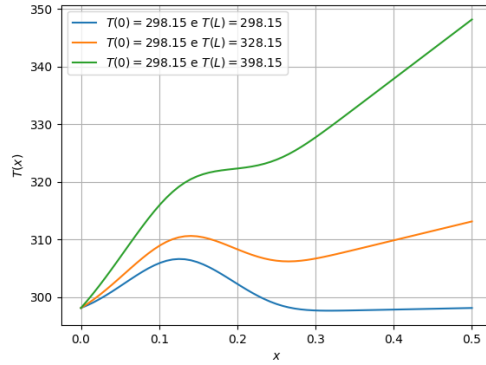
Figura 13: Análise da influência de σ e θ na distribuição de temperatura

Quando analisando o último caso $Q(x) = Q_+(x) - Q_-(x)$, variando σ e θ repara-se na união dos resultados obtidos nos dois últimos casos. Assim, para $\sigma = 0.1$ e $\theta = 0.1$ temos a curva de distribuição de calor com um pico no centro do chip e com regiões próximas a zero até que se torne menor que zero. Na curva de temperatura tem-se então uma curva com formato semelhante a curva de $\sigma = 0.1$ da Figura 11 (a), mas com o pico levemente achatado. Para $\sigma = 5$ e $\theta = 5$ a curva de distribuição de calor é aproximadamente constante em 0, e, portanto, a temperatura permanece constante e igual a 0. Por fim, as curvas em que $\sigma = 0.1$ e $\theta = 5$; e $\sigma = 5$ e $\theta = 0.1$ tem resultados que mesclam as características de tais casos nas análises anteriores (Figura 11 e Figura 12).

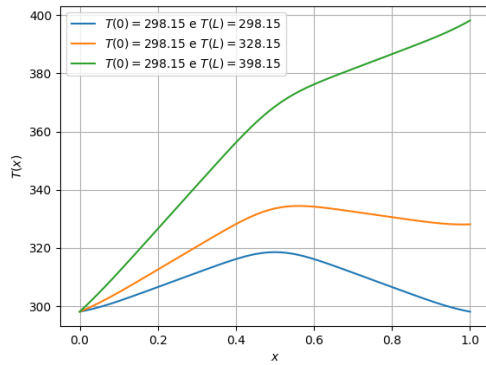
Para a última sessão de variações para analisar a distribuição de calor para condições de contorno não homogêneas:



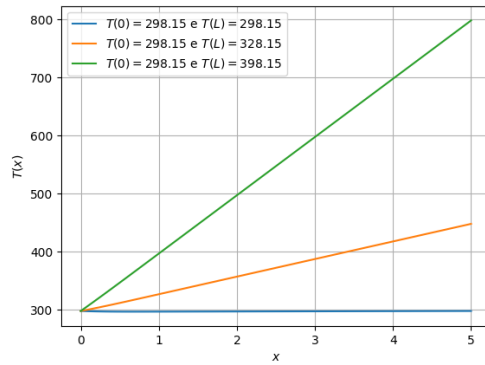
(a) Situação não homogênea com ambos Q não constantes e $L=0.1$



(b) Situação não homogênea com ambos Q não constantes e $L=0.5$



(c) Situação não homogênea com ambos Q não constantes e $L=1.0$



(d) Situação não homogênea com ambos Q não constantes e $L=5.0$

Figura 14: gráficos da influência de condições de contorno não homogêneas no comportamento térmico do chip

No quesito de fronteiras não homogêneas, o comportamento é semelhante em quaisquer comprimentos: quanto mais distantes entre si são as temperaturas nos extremos maior o coeficiente linear das curvas de calor e portanto mais rápido a elevação de temperatura. Percebe-se, também que há sempre dois trechos que se aproximam de retas, cada um com inclinações diferentes. Esses trechos são separados pelo ponto de pico de calor, que varia com L . Nos casos $L = 0.1$ e $L = 0.5$ temos que o pico ocorre logo no início do chip, para $L = 1$ o pico se encontra exatamente no meio e para $L = 5$ a curva de distribuição de calor não apresenta pico (ou o pico estaria teoricamente fora do chip).

4.1.4 Modo IV

Antes de avaliar a situação proposta no enunciado da tarefa, analisou-se qual a influência da variação do valor de k (constante) na função de temperatura ao longo do chip.

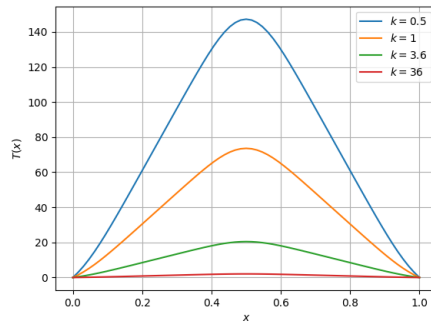
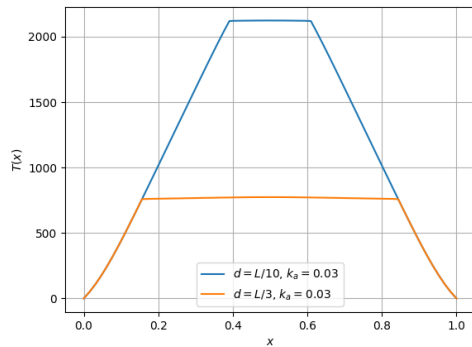


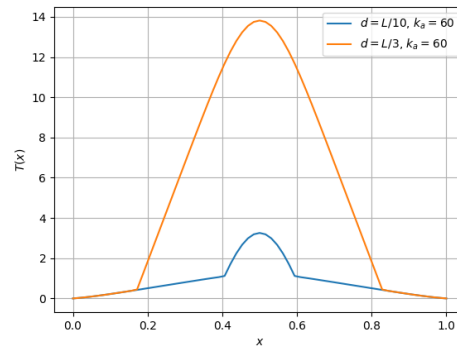
Figura 15: Temperatura ao longo do chip para diferentes valores de k

Dos resultados impressos, é possível concluir que variações em k interferem na temperatura do chip tanto em sua amplitude - valores mais baixos causam máximos maiores- além de como esta se distribui ao longo do chip - valores de k mais altos tendem a dificultar o aumento de temperatura e portanto diminuir suas variações ao longo do chip.

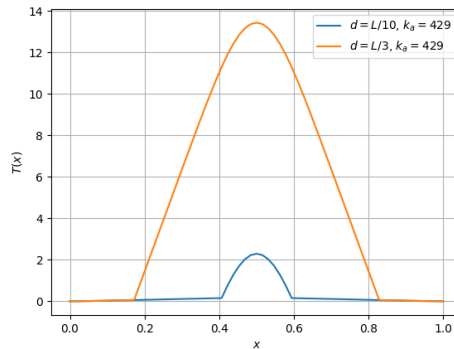
Os resultados para as distribuições de calor para uma situação de material variável em três situações (borda de espuma de poliestireno (a), de alumínio (b), de prata (c)) estão apresentados abaixo:



(a) Distribuição de calor em função de x com camada externa de espuma de poliestireno



(b) Distribuição de calor em função de x com camada externa de alumínio



(c) Distribuição de calor em função de x com camada externa de prata

Figura 16: Análise da influência de $k(x)$ de diferentes materiais na distribuição de calor

Pode-se notar que a amplitude da temperatura na parte interna do chip depende diretamente do material que o envolve. Nos casos em que este é inferior à constante de calor do silício ($3,6 \text{ W / (m K)}$), como no caso (a) em que $k_{PE} = 0,03 \text{ W / (m K)}$ a temperatura cresce à valores muito altos até a borda, permitindo que mesmo que com os valores da constante do silício no centro, atingissem valores muito altos. Com o aumento dos valores das constantes dos materiais na borda, essa temperatura diminui cada vez mais até o caso mais extremo de k externo muito maior do que o interno ($k_{prata} = 429 \text{ W / (m K)}$) onde a temperatura se mantém quase estável até o início do interior de silício, causando temperaturas máximas bem menores que nas outras situações.

Vale pontuar ainda, especialmente observando os casos extremos de k muito pequeno ou muito grande, que a espessura da camada de material diferente. Quanto maior a espessura maior a interferência causada pelo k externo: a temperatura máxima aumenta ainda mais para k pequeno e diminui consideravelmente para k maiores.

4.1.5 Conclusões finais

Ao fim deste relatório, conclui-se a série de três exercícios programas propostos pela disciplina. O exercício une os dois últimos exercícios programas em código e em teoria, por meio da aplicação de um importante método de resolução numérica: o método de elementos finitos. O código para a tarefa consta não só na junção do algoritmo para resolução de sistemas de matrizes LU e integrações gaussianas mas também da elaboração de funções para o cálculo das bases ϕ , erros e soluções pelo método de aproximação Ritz-Raleigh e de um espaço vetorial de Splines Lineares. Além disto, subdividiu-se a Main em quatro diferentes modos: dois de validação e dois de análises.

As validações foram concluídas com devido êxito, apresentando os resultados e convergências esperados. E quanto às análises, foram elaboradas as sugeridas no enunciado junto com seus desmembramentos, de autoria própria. Observou-se nos casos das forçantes em equilíbrio a influência da constância dos calores absorvido e retirado, das variáveis σ e θ - responsáveis transformar as funções em não constantes - tanto separadamente quanto em conjunto, além de explorar os efeitos das condições de fronteira não homogêneas na distribuição de temperatura ao longo do chip. Por fim, analisou-se a influência da constante k no comportamento da distribuição de temperatura, assim como o exercício de avaliar a influência de uma camada externa de três materiais diferentes (espuma de poliestireno, alumínio e prata).

Destes teste é possível concluir que um dos maiores desafios para não sobreaquecer o chip residem na produção e absorção de calor não constantes em situações reais, podendo criar concentrações altas no centro da peça, o que, conjuntamente com condições de contorno não homogêneas (tipicamente exposição dos extremos à temperatura ambiente ou de outras peças próximas ao chip) que alteram a distribuição de temperatura para uma distribuição cada vez menos uniforme, chegando quase à um crescimento linear de temperatura. Outro desafio notável é a escolha do material para recobrir o chip, visto que materiais de baixa condutibilidade proporcionam amplitudes de temperaturas muito menores no chip, visto que controlam muito bem o aumento desta ao longo da camada externa e materiais com alta condutibilidade - inclusive o ar atmosférico, cujo valor da constante de condutividade é muito próxima a da espuma de poliestireno utilizada- podem causar não só uma maior amplitude como uma concentração ainda maior de calor no centro do chip.

5 Referências

VALLE, Marcos Eduardo. Aula 24 Quadratura Gaussiana. Departamento de Matemática Aplicada Instituto de Matemática, Estatística e Computação Científica Universidade Estadual de Campinas Disponível em : <<https://www.ime.unicamp.br/valle/Teaching/2015/MS211/Aula24.pdf>> Acesso em 31 de maio, 2022.

OLIVEIRA, Maria Luísa Bambozzi de. Integração Numérico. 27 de Outubro, 2010 e 8 de Novembro, 2010. Disponível em <https://sites.icmc.usp.br/marialuisa/cursos201002/integracao_numerica.pdf> . Acesso em 30 de maio, 2022.

Hjorth-Jensen, Morten . Computational Physics Lectures: Numerical integration, from Newton-Cotes quadrature to Gaussian quadrature . Department of Physics, University of Oslo. 23 de agosto, 2017. Disponível em: <<http://compphysics.github.io/ComputationalPhysics/doc/pub/integrate/html/integrate.html>>. Acesso em: 31 maio 2022.

Gauss quadrature formula. Encyclopedia of Mathematics. Disponível em: <http://encyclopediaofmath.org/index.php?title=Gauss_quadrature_formula&oldid=43647> . Acesso em: 30 maio 2022.

INTEGRAÇÃO NUMÉRICA - QUADRATURA DE GAUSS LEGENDRE. Métodos Numéricos. Youtube. 21 de novembro de 2020. 22:33. Disponível em: <<https://www.youtube.com/watch?v=6W5Y2JWQnUg>>. Acesso em: 31 de Maio de 2022.

Calculadora de Integrais Duplas - Wolfram Alpha. Disponível em: <<https://www.wolframalpha.com/input?i=double+integral>>. Acesso em: 2 junho 2022.

NumPy documentation — NumPy v1.22 Manual. Numpy.org. Disponível em: <<https://numpy.org/doc/stable/index.html>>. Acesso em: 2 maio 2022.

Quadratura Gaussiana + Algoritmo em Python. Produção: Sidnei fe. Youtube. 2021. 27:49. Disponível em : <<https://www.youtube.com/watch?v=bu8trr9Qm1Y>> Acesso em 01/06/2022

JUSTINO. Lucas; Método da Decomposição LU para a solução numérica de equações lineares. Disponível em :

"http://www.facom.ufu.br/dino/disciplinas/GBC051/Decomp_LU_Lucas.pdf"

ECT / UFRN. Decomposição LU (Lower Upper). Disponível em:

<<https://cn.ect.ufrn.br/index.php?r=conteudo%2Fsislin-lu>>. Acesso em: 1 maio 2022.

RISTO HINNO. LU decomposition - Risto Hinno - Medium. Medium. Disponível em: <<https://ristohinno.medium.com/lu-decomposition-41a3cb0d1ba>>. Acesso em: 1 maio 2022.

Matrix Calculator. Matrixcalc.org. Disponível em: <<https://matrixcalc.org/pt/slu.html>>. Acesso em: 2 maio 2022.

Calculadora de Decomposição LU - eMathHelp. Emathhelp.net. Disponível em: <<https://www.emathhelp.net/pt/calculators/linear-algebra/lu-decomposition-calculator/>>. Acesso em: 2 maio 2022.

Finite Element Method. Produção: Julian Roth. Youtube. 2021. 32:18. Disponível em : <<https://www.youtube.com/watch?v=P4lBRuY7pC4>> Acesso em: 5 de julho 2022.

Oficina MEF no Python (aula 3). Produção : LabMA UFRRJ. Youtube. 1:10:10. Disponível em: <<https://www.youtube.com/watch?v=qDFGgMPbVQQ>>

A Apêndices

A.1 functions.py

```
1 import numpy as np
2
3 # Resolve sistema tridiagonais
4 def sistemaTridiagLU(a, b, c, d, n):
5     """
6     a: vetor de coeficientes da diagonal secundaria inferior
7     b: vetor de coeficientes da diagonal principal
8     c: vetor de coeficientes da diagonal secundaria superior
9     d: vetor resultado
10    n: dimensão do sistema nxn
11
12    """
13    # Calcula vetores u e l
14    u = [b[0]]
15    l = []
16    for i in range(1, n):
17        l.append(a[i] / u[i - 1])
18        u.append(b[i] - l[i - 1] * c[i - 1])
19
20    # Calcula solução de L*y = d
21    y = [d[0]]
22    for i in range(1, n):
23        y.append(d[i] - l[i - 1] * y[i - 1])
24
25    # Calcula solução de U*x = y
26    x = [0] * n
27    x[n - 1] = y[n - 1] / u[n - 1]
28    for i in reversed(range(0, n - 1)):
29        x[i] = (y[i] - c[i] * x[i + 1]) / u[i]
30
31    return x
32
33
34 # Calculo da integral simples ou dupla
35 def integral_simples_ou_dupla(
36     f, a, b, pontos_e_pesos_x, c=lambda x: 0, d=lambda x: 1,
37     pontos_e_pesos_y=None
38 ):
39     """
40     f: função de x e y a ser integrada
41     a: limite inferior do intervalo de integração em x
42     b: limite superior do intervalo de integração em x
43     pontos_e_pesos_x: pontos e pesos para o método de Gauss em x (
44         deve ser da forma [(ponto1, peso1), (ponto2, peso2), ...].)
45     c: limite inferior do intervalo de integração em y (função de x)
46     d: limite superior do intervalo de integração em y (função de x)
```

```

45     pontos_e_pesos_y: pontos e pesos para o método de Gauss em y (
46     deve ser da forma [(ponto1, peso1), (ponto2, peso2), ...].)
47
48     """
49     pontos_e_pesos_y = (
50         pontos_e_pesos_x if pontos_e_pesos_y is None else
51         pontos_e_pesos_y
52     )
53     I = 0
54     for x_i, w_i in pontos_e_pesos_x:
55         # troca de variavel de x para o intervalo [a,b]
56         x_i = (a + b) / 2 + (b - a) * x_i / 2
57         F = 0
58         for y_ij, w_ij in pontos_e_pesos_y:
59             # troca de variavel de y para o intervalo [c(x_i),d(x_i)]
60             y_ij = (c(x_i) + d(x_i)) / 2 + (d(x_i) - c(x_i)) * y_ij
61             F += w_ij * f(x_i, y_ij) * (d(x_i) - c(x_i)) / 2
62             I += w_i * F * (b - a) / 2
63
64     return I
65
66
67 def calcula_produto_interno_phis_diagonal_principal(
68     k, q, past_xi, current_xi, next_xi, h, pontos_e_pesos_phi
69 ):
70     """
71     k: função k(x)
72     q: função q(x)
73     past_xi: xi[i-1], xi anterior
74     current_xi: xi[i], xi atual
75     next_xi: xi[i+1], xi posterior
76     h: tamanho do intervalo
77     pontos_e_pesos_phi: pontos e pesos para o método de Gauss em phi
78     (deve ser da forma [(ponto1, peso1), (ponto2, peso2), ...].)
79
80     """
81     # Calcula o produto interno de phii e phii
82     phii_phii_1 = lambda x, y: k(x, y) + (x - past_xi) ** 2 * q(x, y)
83     phii_phii_2 = lambda x, y: k(x, y) + (next_xi - x) ** 2 * q(x, y)
84     return (1 / h) ** 2 * (
85         integral_simples_ou_dupla(
86             phii_phii_1, past_xi, current_xi, pontos_e_pesos_phi
87         ) # intervalo de integração [past_xi, current_xi]
88         + integral_simples_ou_dupla(

```

```

89         phii_phii_2, current_xi, next_xi, pontos_e_pesos_phi
90     ) # intervalo de integração [current_xi, next_xi]
91 )
92
93
94 def calcula_produto_interno_phis_diagonal_secundaria_inferior(
95     k, q, past_xi, current_xi, h, pontos_e_pesos_phi
96 ):
97     """
98     k: função k(x)
99     q: função q(x)
100     past_xi: xi[i-1], xi anterior
101     current_xi: xi[i], xi atual
102     h: tamanho do intervalo
103     pontos_e_pesos_phi: pontos e pesos para o método de Gauss em phi
104     (deve ser da forma [(ponto1, peso1), (ponto2, peso2), ...].)
105     """
106
107     # Calcula o produto interno de phii e phii+1
108     phii_phij = lambda x, y: k(x, y) + (current_xi - x) * (x -
109 past_xi) * q(x, y)
110     return -((1 / h) ** 2) * integral_simples_ou_dupla(
111         phii_phij, past_xi, current_xi, pontos_e_pesos_phi
112     ) # intervalo de integração [past_xi, current_xi]
113
114 def calcula_produto_interno_phis_diagonal_secundaria_superior(
115     k, q, current_xi, next_xi, h, pontos_e_pesos_phi
116 ):
117     """
118     k: função k(x)
119     q: função q(x)
120     current_xi: xi[i], xi atual
121     next_xi: xi[i+1], xi posterior
122     h: tamanho do intervalo
123     pontos_e_pesos_phi: pontos e pesos para o método de Gauss em phi
124     (deve ser da forma [(ponto1, peso1), (ponto2, peso2), ...].)
125     """
126
127     # Calcula o produto interno de phii e phii-1
128     phij_phii = lambda x, y: k(x, y) + (next_xi - x) * (x -
129 current_xi) * q(x, y)
130     return -((1 / h) ** 2) * integral_simples_ou_dupla(
131         phij_phii, current_xi, next_xi, pontos_e_pesos_phi
132     ) # intervalo de integração [current_xi, next_xi]
133
134 def calcula_produto_interno_f_phi(
135     f, past_xi, current_xi, next_xi, h, pontos_e_pesos_phi
136 ):
137     """

```

```

136     f: função f(x)
137     past_xi: xi[i-1], xi anterior
138     current_xi: xi[i], xi atual
139     next_xi: xi[i+1], xi posterior
140     h: tamanho do intervalo
141     pontos_e_pesos_phi: pontos e pesos para o método de Gauss em phi
142     (deve ser da forma [(ponto1, peso1), (ponto2, peso2), ...].)
143     """
144
145     # Calcula o produto interno de f(x) e phii
146     f_phii1 = lambda x, y: (x - past_xi) * f(x, y)
147     f_phii2 = lambda x, y: (next_xi - x) * f(x, y)
148     return (
149         1
150         / h
151         * (
152             integral_simples_ou_dupla(f_phii1, past_xi, current_xi,
153             pontos_e_pesos_phi)
154             + integral_simples_ou_dupla(
155                 f_phii2, current_xi, next_xi, pontos_e_pesos_phi
156             )
157         )
158     )
159
160 def sol_sistema_linear_tridiagonal(f, k, q, n, pontos_e_pesos_phi, L
161 =1):
162     """
163     f: função f(x)
164     k: função k(x)
165     q: função q(x)
166     n: número de pontos
167     pontos_e_pesos_phi: pontos e pesos para o método de Gauss em phi
168     (deve ser da forma [(ponto1, peso1), (ponto2, peso2), ...].)
169     L: opcional, define interval [0,L]
170     """
171
172     h = L / (n + 1)
173     xi = [i * h for i in range(n + 2)]
174
175     # Vetores do sistema linear (tridigonal)
176     b = [] # diagonal principal
177     a = [] # diagonal secundária inferior
178     c = [] # diagonal secundária superior
179     d = [] # vetor de termos independentes
180
181     for i in range(n):
182         past_xi = xi[i]
183         current_xi = xi[i + 1]
184         next_xi = xi[i + 2]
185
186         b.append(

```

```

183         calcula_produto_interno_phis_diagonal_principal(
184             k, q, past_xi, current_xi, next_xi, h,
pontos_e_pesos_phi
185         )
186     )
187     a.append(
188
189     calcula_produto_interno_phis_diagonal_secundaria_inferior(
190         k, q, past_xi, current_xi, h, pontos_e_pesos_phi
191     )
192     c.append(
193
194     calcula_produto_interno_phis_diagonal_secundaria_superior(
195         k, q, current_xi, next_xi, h, pontos_e_pesos_phi
196     )
197     d.append(
198         calcula_produto_interno_f_phi(
199             f, past_xi, current_xi, next_xi, h,
pontos_e_pesos_phi
200         )
201     )
202
203     # Resolve o sistema linear
204     alphas = np.array(sistemaTridiagLU(a, b, c, d, n))
205
206     return alphas
207
208
209 def phi(x, xi, i, h):
210     """
211     x: valor de x
212     xi: vetor de pontos
213     i: índice do ponto de xi
214     h: tamanho do intervalo
215     """
216
217     if xi[i - 1] < x <= xi[i]:
218         return (x - xi[i - 1]) / h
219     elif xi[i] < x <= xi[i + 1]:
220         return (xi[i + 1] - x) / h
221     else:
222         return 0
223
224
225 def u_barra(x, alphas, xi, h):
226     """
227     x: valor de x
228     alphas: vetor de alphas
229     xi: vetor de pontos

```



```

230     h: tamanho do intervalo
231
232     """
233
234     u_barra = 0
235     for i in range(len(alphas)):
236         u_barra += alphas[i] * phi(x, xi, i + 1, h)
237     return u_barra
238
239
240 def u_barra_nao_homogenea(x, a, b, alphas, xi, h, L=1):
241     """
242     x: valor de x
243     a: valor de u(0)
244     b: valor de u(L)
245     alphas: vetor de alphas
246     xi: vetor de pontos
247     h: tamanho do intervalo
248
249     """
250     return u_barra(x, alphas, xi, h) + (a + (b - a) * x) / L
251
252
253 def maior_erro(n, u_exato, alphas, L=1):
254     """
255     n: número de pontos
256     u_exato: função u(x)
257     alphas: vetor de alphas
258     L: opcional, define interval [0,L]
259     """
260
261     h = L / (n + 1)
262     xi = [i * h for i in range(n + 2)]
263     erro_max = 0
264     u_barra_erro_max = 0
265     u_exato_erro_max = 0
266     for x in xi:
267         if abs(u_exato(x) - u_barra(x, alphas, xi, h)) > erro_max:
268             erro_max = abs(u_exato(x) - u_barra(x, alphas, xi, h))
269             u_barra_erro_max = u_barra(x, alphas, xi, h)
270             u_exato_erro_max = u_exato(x)
271     return erro_max, u_barra_erro_max, u_exato_erro_max

```

A.2 Main.py

```

1     """
2     EP3 – Modelagem de um Sistema de Resfriamento de Chips
3
4     Nome: Laura do Prado Gonçalves Pinto
5     NUSP: 11819960

```

```

6
7 Nome: Mateus Stano Junqueira
8 NUSP: 11804845
9 """
10
11 from functions import *
12 import numpy as np
13 import matplotlib.pyplot as plt
14
15 # pontos e pesos pré estabelecidos
16 # na forma de n = [(x_j,w_j),...]
17 n6 = [
18     (0.2386191860831969086305017, 0.4679139345726910473898703),
19     (0.6612093864662645136613996, 0.3607615730481386075698335),
20     (0.9324695142031520278123016, 0.1713244923791703450402961),
21     (-0.2386191860831969086305017, 0.4679139345726910473898703),
22     (-0.6612093864662645136613996, 0.3607615730481386075698335),
23     (-0.9324695142031520278123016, 0.1713244923791703450402961),
24 ]
25 n8 = [
26     (0.1834346424956498049394761, 0.3626837833783619829651504),
27     (0.5255324099163289858177390, 0.3137066458778872873379622),
28     (0.7966664774136267395915539, 0.2223810344533744705443560),
29     (0.9602898564975362316835609, 0.1012285362903762591525314),
30     (-0.1834346424956498049394761, 0.3626837833783619829651504),
31     (-0.5255324099163289858177390, 0.3137066458778872873379622),
32     (-0.7966664774136267395915539, 0.2223810344533744705443560),
33     (-0.9602898564975362316835609, 0.1012285362903762591525314),
34 ]
35 n10 = [
36     (0.1488743389816312108848260, 0.2955242247147528701738930),
37     (0.4333953941292471907992659, 0.2692667193099963550912269),
38     (0.6794095682990244062343274, 0.2190863625159820439955349),
39     (0.8650633666889845107320967, 0.1494513491505805931457763),
40     (0.9739065285171717200779640, 0.0666713443086881375935688),
41     (-0.1488743389816312108848260, 0.2955242247147528701738930),
42     (-0.4333953941292471907992659, 0.2692667193099963550912269),
43     (-0.6794095682990244062343274, 0.2190863625159820439955349),
44     (-0.8650633666889845107320967, 0.1494513491505805931457763),
45     (-0.9739065285171717200779640, 0.0666713443086881375935688),
46 ]
47
48
49 def main():
50     print("Escolha um modo:")
51     print("Modo 1 - Validação no intervalo [0,1] com k(x)=1, q(x)=0, f(x)=12x(1-x)-2")
52     print("Modo 2 - Validação no intervalo [0,1] com k(x)=e**x, q(x)=0, f(x)=e**x+1")
53     print("Modo 3 - Equilíbrio com forçantes de calor")
54     print("Modo 4 - Equilíbrio com variacao de material")

```

```

55     modo = int(input("Modo: "))
56
57     if modo == 1:
58         print(
59             "\nModo 1 - Validação no intervalo [0,1] com k(x)=1, q(x)
60             )=0, f(x)=12x(1-x)-2"
61         )
62         print("\nSolução exata u(x) = (x**2 *(1 - x)**2)")
63         print("\nParametros: \nk(x)=1, \nq(x)=0, \nf(x)=12x(1-x)-2")
64
65         input("\n\nAvaliando o máximo erro nos pontos xi para
66         diferentes n's:")
67
68         for n in [7, 15, 31, 63]: # números de pontos
69
70             print(f"\nn={n} →")
71
72             f = lambda x, y: 12 * x * (1 - x) - 2 # função f(x)
73             k = lambda x, y: 1 # função k(x)
74             q = lambda x, y: 0 # função q(x)
75             u_exato = lambda x: x**2 * (1 - x) ** 2 # solução exata
76             alphas = sol_sistema_linear_tridiagonal(
77                 f, k, q, n, n10
78             ) # solução do sistema
79
80             erro_max, u_barra_erro_max, u_exato_erro_max =
81             maior_erro(
82                 n, u_exato, alphas
83             )
84             print(
85                 f"u_barra = {u_barra_erro_max:.22f} ; u_exato = {
86                 u_exato_erro_max:.22f}; erro = {erro_max:.22f}"
87             )
88
89             input("\nPressione Enter para ver todos os erros calculados.
90             ")
91
92             for n in [7, 15, 31, 63]:
93
94                 print(f"\nn={n} →")
95
96                 alphas = sol_sistema_linear_tridiagonal(
97                     f, k, q, n, n10
98                 ) # solução do sistema
99                 L = 1
100                 h = L / (n + 1)
101                 xi = [i * h for i in range(n + 2)]
102                 u_barra_lista = []
103                 for x in xi:
104                     u_barra_lista.append(u_barra(x, alphas, xi, h))
105                 print(

```

```

100         f"x = {x:.4f} ; u_barra = {u_barra(x, alphas, xi, h
):.22f} ; u_exato = {u_exato(x):.22f}; erro = {u_barra(x, alphas,
xi, h)-u_exato(x):.22f}"
101     )
102     u_exato_lista = [u_exato(x) for x in np.linspace(0, 1)]
103
104     plt.plot(xi, u_barra_lista, label="$u$")
105     plt.plot(np.linspace(0, 1), u_exato_lista, label="$\
overline{u}_n$")
106     plt.legend()
107     plt.grid()
108     plt.ylabel("$u(x)$")
109     plt.xlabel("$x$")
110     plt.show()
111
112     input("\n\nAvaliando o erro nos pontos p=(x[i-1]-xi)/2 para
diferentes n's:")
113
114     for n in [7, 15, 31, 63]: # números de pontos
115
116         print(f"\nn={n} —>")
117
118         f = lambda x, y: 12 * x * (1 - x) - 2 # função f(x)
119         k = lambda x, y: 1 # função k(x)
120         q = lambda x, y: 0 # função q(x)
121         u_exato = lambda x: x**2 * (1 - x) ** 2 # solução exata
122         alphas = sol_sistema_linear_tridiagonal(
123             f, k, q, n, n10
124         ) # solução do sistema
125
126         h = L / (n + 1)
127         xi = [i * h for i in range(n + 2)]
128
129         # testando em nos pontos pi
130         P_i = [0.33, 0.47, 0.66, 0.72]
131         for x in P_i:
132             print(
133                 f"x = {x:.4f} ; u_barra = {u_barra(x, alphas, xi, h
):.22f} ; u_exato = {u_exato(x):.22f}; erro = {u_barra(x, alphas,
xi, h)-u_exato(x):.22f}"
134             )
135         elif modo == 2:
136             print(
137                 "\nModo 2 - Validação no intervalo [0,1] com k(x)=e**x,
q(x)=0, f(x)=e**(x)+1"
138             )
139             print("\nSolução exata u(x) = (x-1)*(e**(-x) - 1)")
140             print("\nParametros: \nk(x)=1, \nq(x)=0, \nf(x)=e**(x)+1")
141
142             input("\n\nAvaliando o máximo erro para diferentes n's:")
143

```

```

144         for n in [7, 15, 31, 63]: # números de pontos
145
146             print(f"\nn={n} →")
147
148             f = lambda x, y: np.exp(x) + 1 # função f(x)
149             k = lambda x, y: np.exp(x) # função k(x)
150             q = lambda x, y: 0 # função q(x)
151             u_exato = lambda x: (x - 1) * (np.exp(-x) - 1) # soluçã
o exata
152             alphas = sol_sistema_linear_tridiagonal(
153                 f, k, q, n, n10
154             ) # solução do sistema
155
156             erro_max, u_barra_erro_max, u_exato_erro_max =
maior_erro(
157                 n, u_exato, alphas
158             )
159             print(
160                 f"u_barra = {u_barra_erro_max:.22f} ; u_exato = {
u_exato_erro_max:.22f}; erro = {erro_max:.22f}"
161             )
162
163             input("\nPressione Enter para ver todos os erros calculados.
")
164             for n in [7, 15, 31, 63]:
165
166                 print(f"\nn={n} →")
167
168                 alphas = sol_sistema_linear_tridiagonal(
169                     f, k, q, n, n10
170                 ) # solução do sistema
171                 L = 1
172                 h = L / (n + 1)
173                 xi = [i * h for i in range(n + 2)]
174                 u_barra_lista = []
175                 for x in xi:
176                     u_barra_lista.append(u_barra(x, alphas, xi, h))
177                     print(
178                         f"x = {x:.4f} ; u_barra = {u_barra(x, alphas, xi, h
):.22f} ; u_exato = {u_exato(x):.22f}; erro = {u_barra(x, alphas,
xi, h)-u_exato(x):.22f}"
179                     )
180                 u_exato_lista = [u_exato(x) for x in np.linspace(0, 1)]
181
182                 plt.plot(xi, u_barra_lista, label="$u$")
183                 plt.plot(np.linspace(0, 1), u_exato_lista, label="$\
overline{u}_n$")
184                 plt.legend()
185                 plt.grid()
186                 plt.ylabel("$u(x)$")
187                 plt.xlabel("$x$")

```

```

188         plt.show()
189
190     elif modo == 3:
191         print("\nModo 3 – Equilíbrio com forçantes de calor")
192         print("\nParametros: \nk(x)=3.6, \nq(x)=0, \nf(x)=Q(x)")
193         print(
194             "\nSendo Q(x) representa a soma do calor gerado pelo
chip (Q+) e o calor retirado pelo resfriador (Q-)")
195         )
196         print("\n\nVariando parametros:")
197
198         print(
199             "\n Q+ e Q- constantes e Q+ > Q- (portanto Q(x)
constante e maior que zero)")
200         )
201         input(" Parametros: Q+ - Q- = 2000 ")
202
203         n = 63
204         f = lambda x, y: 2000 # função f(x)
205         k = lambda x, y: 3.6 # função k(x)
206         q = lambda x, y: 0 # função q(x)
207         alphas = sol_sistema_linear_tridiagonal(f, k, q, n, n10) #
solução do sistema
208
209         L = 1
210         h = L / (n + 1)
211         xi = [i * h for i in range(n + 2)]
212         u_barra_lista = []
213         for x in xi:
214             u_barra_lista.append(u_barra(x, alphas, xi, h))
215             print(f"x = {x:.4f} ; u_barra = {u_barra(x, alphas, xi, h)
:.22f}")
216
217         plt.plot(xi, u_barra_lista, label="$T(x)$")
218         plt.legend()
219         plt.grid()
220         plt.ylabel("$T(x)$")
221         plt.xlabel("$x$")
222         plt.show()
223
224         print("\n\n Q+ e Q- constantes e Q+ >>> Q-")
225         input(" Parametros: Q+ - Q- = 20000 ")
226
227         n = 63
228         f = lambda x, y: 20000 # função f(x)
229         k = lambda x, y: 3.6 # função k(x)
230         q = lambda x, y: 0 # função q(x)
231         alphas = sol_sistema_linear_tridiagonal(f, k, q, n, n10) #
solução do sistema
232
233         L = 1

```

```

234     h = L / (n + 1)
235     xi = [i * h for i in range(n + 2)]
236     u_barra_lista = []
237     for x in xi:
238         u_barra_lista.append(u_barra(x, alphas, xi, h))
239         print(f"x = {x:.4f} ; u_barra = {u_barra(x, alphas, xi, h)
240               :.22f}")
241
242     plt.plot(xi, u_barra_lista, label="$T(x)$")
243     plt.legend()
244     plt.grid()
245     plt.ylabel("$T(x)$")
246     plt.xlabel("$x$")
247     plt.show()
248
249     print(
250         "\n\n Q+ e Q- constantes e Q+ < Q- (portanto Q(x)
251         constante e menor que zero)"
252     )
253     input(" Parametros: Q+ - Q- = -2000")
254
255     n = 63
256     f = lambda x, y: -2000 # função f(x)
257     k = lambda x, y: 3.6 # função k(x)
258     q = lambda x, y: 0 # função q(x)
259     alphas = sol_sistema_linear_tridiagonal(f, k, q, n, n10) #
260     solução do sistema
261
262     L = 1
263     h = L / (n + 1)
264     xi = [i * h for i in range(n + 2)]
265     u_barra_lista = []
266     for x in xi:
267         u_barra_lista.append(u_barra(x, alphas, xi, h))
268         print(f"x = {x:.4f} ; u_barra = {u_barra(x, alphas, xi, h)
269               :.22f}")
270
271     plt.plot(xi, u_barra_lista, label="$T(x)$")
272     plt.legend()
273     plt.grid()
274     plt.ylabel("$T(x)$")
275     plt.xlabel("$x$")
276     plt.show()
277
278     print("\n\n Q+ e Q- constantes e Q+ <<< Q-")
279     input(" Parametros: Q+ - Q- = -20000")
280
281     n = 63
282     f = lambda x, y: -20000 # função f(x)
283     k = lambda x, y: 3.6 # função k(x)
284     q = lambda x, y: 0 # função q(x)

```

```

281     alphas = sol_sistema_linear_tridiagonal(f, k, q, n, n10) #
solução do sistema
282
283     L = 1
284     h = L / (n + 1)
285     xi = [i * h for i in range(n + 2)]
286     u_barra_lista = []
287     for x in xi:
288         u_barra_lista.append(u_barra(x, alphas, xi, h))
289         print(f"x = {x:.4f} ; u_barra = {u_barra(x, alphas, xi, h)
:.22f}")
290
291     plt.plot(xi, u_barra_lista, label="$T(x)$")
292     plt.legend()
293     plt.grid()
294     plt.ylabel("$T(x)$")
295     plt.xlabel("$x$")
296     plt.show()
297
298     print("\n\n Q+ modelado por  $Q+(x) = Q_0 * e^{-(x-L/2)**2/}$ 
sigma**2 e  $Q_-=0$ ." )
299     print(" Variando sigma")
300     input("\n Parametros:  $Q_0 = 2000$ ,  $L=1$ , sigma = variando ,  $Q$ 
-0 = 0")
301     n = 63
302     Q0 = 2000
303     sigmas = [0.05, 0.1, 0.25, 0.5, 1, 5]
304     L = 1
305     Q_0 = 0
306     for sigma in sigmas:
307         f = (
308             lambda x, y: Q0 * np.e ** ( -((x - L / 2) ** 2) /
sigma**2) - Q_0
309         ) # função f(x)
310         k = lambda x, y: 3.6 # função k(x)
311         q = lambda x, y: 0 # função q(x)
312         alphas = sol_sistema_linear_tridiagonal(
313             f, k, q, n, n10
314         ) # solução do sistema
315
316         h = L / (n + 1)
317         xi = [i * h for i in range(n + 2)]
318         u_barra_lista = []
319         for x in xi:
320             u_barra_lista.append(u_barra(x, alphas, xi, h))
321             print(f"x = {x:.4f} ; u_barra = {u_barra(x, alphas, xi
,h):.22f}")
322
323         plt.plot(xi, u_barra_lista, label="$\sigma=$" + str(
sigma))
324         plt.legend()

```



```

325     plt.grid()
326     plt.ylabel("$T(x)$")
327     plt.xlabel("$x$")
328     plt.show()
329
330     print(
331         "\n\n Q+=0 e Q- modelado por  $Q-(x) = Q_0 * (e^{-(x**2/$ 
332          $**2) + e^{-(x-L)**2/ **2})$ "
333     )
334     print("Variando theta")
335     input("\n Parametros: Q+0 = 0, L=1, theta = variando, Q-0 =
336     2000")
337
338     n = 63
339     Q0 = 0
340     thetas = [0.05, 0.1, 0.25, 0.5, 1, 5]
341     L = 1
342     Q_0 = 2000
343     for theta in thetas:
344         f = lambda x, y: Q0 - (
345             Q_0
346             * (
347                 np.e ** (-(x**2) / theta**2)
348                 + np.e ** (-(x - L) ** 2) / theta**2)
349             ) # função f(x)
350         k = lambda x, y: 3.6 # função k(x)
351         q = lambda x, y: 0 # função q(x)
352         alphas = sol_sistema_linear_tridiagonal(
353             f, k, q, n, n10
354         ) # solução do sistema
355
356         L = 1
357         h = L / (n + 1)
358         xi = [i * h for i in range(n + 2)]
359         u_barra_lista = []
360         for x in xi:
361             u_barra_lista.append(u_barra(x, alphas, xi, h))
362             print(f"x = {x:.4f} ; u_barra = {u_barra(x, alphas, xi
363             ,h):.22f}")
364
365         plt.plot(xi, u_barra_lista, label="$\u03B8=$" + str(
366             theta))
367         plt.legend()
368         plt.grid()
369         plt.ylabel("$T(x)$")
370         plt.xlabel("$x$")
371         plt.show()
372
373     print(

```

```

371         "\n\n Q+ modelado por  $Q_+(x) = Q_0 * e^{-(x-L/2)^2 /$ 
sigma**2 e Q- modelado por  $Q_-(x) = Q_0 * (e^{-(x**2 /$ 
**(-(x-L)**2/ /**2))."
372     )
373     print("Variando sigma e theta.")
374     input(
375         "\n Parametros: Q+0 = 2000, L=1, sigma = variando ,
theta = variando , Q-0 = 1000 "
376     )
377
378     n = 63
379     L = 1
380     Q0 = 2000
381     thetas = [0.1 , 5]
382     sigmas = [0.1 , 5]
383     L = 1
384     Q_0 = 1000
385     for theta in thetas:
386         for sigma in sigmas:
387             f = lambda x, y: Q0 * np.e ** ( -((x - L / 2) ** 2) /
sigma**2) - (
388                 Q_0
389                 * (
390                     np.e ** (-(x**2) / theta**2)
391                     + np.e ** (-(x - L) ** 2) / theta**2)
392                 )
393             ) # função f(x)
394             k = lambda x, y: 3.6 # função k(x)
395             q = lambda x, y: 0 # função q(x)
396             alphas = sol_sistema_linear_tridiagonal(
397                 f, k, q, n, n10
398             ) # solução do sistema
399
400             h = L / (n + 1)
401             xi = [i * h for i in range(n + 2)]
402             u_barra_lista = []
403             for x in xi:
404                 u_barra_lista.append(u_barra(x, alphas , xi , h))
405                 print(f"x = {x:.4f} ; u_barra = {u_barra(x,
alphas , xi , h) :.22f}")
406
407             plt.plot(
408                 xi ,
409                 u_barra_lista ,
410                 label="$\u03B8=$" + str(theta) + " $\sigma=$" +
str(sigma) ,
411             )
412             plt.legend()
413             plt.grid()
414             plt.ylabel("$T(x)$")
415             plt.xlabel("$x$")

```

```

416     plt.show()
417
418     print(
419         "\n\n Q+ modelado por  $Q_+(x) = Q_0 * e^{-(x-L/2)^2 / \sigma^2}$  e Q- modelado por  $Q_-(x) = Q_0 * (e^{-(x^2 / \theta^2)} + e^{-(x-L)^2 / \theta^2})$ ."
420     )
421     print("Variando condições de contorno e L")
422     input(
423         "\n Parametros: Q+0 = 2000, L=1, sigma = 0.1, theta = 0.1, Q-0 = 1000, T(0)=298.15, T(L) = 389.15"
424     )
425
426     T0 = 298.15
427     T1s = [298.15, 328.15, 398.15]
428     n = 63
429     Ls = [0.1, 0.5, 1, 5]
430     Q0 = 2000
431     theta = 0.1
432     sigma = 0.1
433     Q_0 = 1000
434     for L in Ls:
435         f = lambda x, y: Q0 * np.e ** ( -((x - L / 2) ** 2) /
sigma**2) - (
436             Q_0
437             * (
438                 np.e ** (-(x**2) / theta**2)
439                 + np.e ** ( -((x - L) ** 2) / theta**2)
440             )
441         ) # função f(x)
442         k = lambda x, y: 3.6 # função k(x)
443         q = lambda x, y: 0 # função q(x)
444         alphas = sol_sistema_linear_tridiagonal(
445             f, k, q, n, n10
446         ) # solução do sistema
447
448         h = L / (n + 1)
449         xi = [i * h for i in range(n + 2)]
450         for T1 in T1s:
451             u_barra_lista = []
452             for x in xi:
453                 u_barra_lista.append(
454                     u_barra_nao_homogenea(x, T0, T1, alphas, xi,
h)
455                 )
456             print(
457                 f"x = {x:.4f} ; u_barra = {
u_barra_nao_homogenea(x,T0,T1,alphas ,xi ,h):.22f}"
458             )
459
460     plt.plot(

```

```

461         xi ,
462         u_barra_lista ,
463         label="$T(0)=$" + str(T0) + " e $T(L)=$" + str(
T1) ,
464     )
465     plt.legend()
466     plt.grid()
467     plt.ylabel("$T(x)$")
468     plt.xlabel("$x$")
469     plt.show()
470
471     elif modo == 4:
472         print("\nModo 4 – Equilibrio com variacao de material")
473         print("\nAnalizando caso em que k(x)=k com k variando")
474         input("\nParametros: \n L=1, q(x)=0, theta=1, sigma=1, Q
+0=2,Q-0=2 f(x)=Q(x)")
475
476         n = 63
477         ks = [0.5 , 1, 3.6 , 36]
478         Q0 = 2000
479         theta = 0.1
480         sigma = 0.1
481         L = 1
482         Q_0 = 1000
483         f = lambda x, y: Q0 * np.e ** ( -((x - L / 2) ** 2) / sigma
**2) - (
484             Q_0
485             * (
486                 np.e ** ( -(x**2) / theta**2)
487                 + np.e ** ( -(x - L) ** 2) / theta**2)
488             )
489         ) # função f(x)
490         q = lambda x, y: 0 # função q(x)
491         for k in ks:
492             kx = lambda x, y: k # função k(x)
493             alphas = sol_sistema_linear_tridiagonal(
494                 f, kx, q, n, n10
495             ) # solução do sistema
496
497             L = 1
498             h = L / (n + 1)
499             xi = [i * h for i in range(n + 2)]
500             u_barra_lista = []
501             for x in xi:
502                 u_barra_lista.append(u_barra(x, alphas , xi , h))
503             print(f"x = {x:.4 f} ; u_barra = {u_barra(x, alphas , xi
,h):.22 f}")
504
505             plt.plot(xi , u_barra_lista , label="$k= $" + str(k))
506             plt.grid()
507             plt.legend()

```

```

508     plt.ylabel("$T(x)$")
509     plt.xlabel("$x$")
510     plt.show()
511
512     print("\nAnalisando para k(x)=ks se L/2-d<x<l/2+d e k(x)=ka
caso contrario")
513     input("\nParametros: \nks=3.6, ka=60, L=1, d=L/10, q(x)=0, \
nf(x)=Q(x) ")
514
515     n = 63
516     Q0 = 2000
517     theta = 0.1
518     sigma = 0.1
519     L = 1
520     Q_0 = 1000
521     f = lambda x, y: Q0 * np.e ** ( -((x - L / 2) ** 2) / sigma
**2) - (
522         Q_0
523         * (
524             np.e ** ( -(x**2) / theta**2)
525             + np.e ** ( -(x - L) ** 2) / theta**2)
526         )
527     ) # função f(x)
528
529     def k(x, y): # função k(x)
530         L = 1
531         d = L / 10 # L/3
532         ka = 60
533         ks = 3.6
534         if L / 2 - d < x < L / 2 + d:
535             return ks
536         else:
537             return ka
538
539     q = lambda x, y: 0 # função q(x)
540     alphas = sol_sistema_linear_tridiagonal(f, k, q, n, n10) #
solução do sistema
541
542     L = 1
543     h = L / (n + 1)
544     xi = [i * h for i in range(n + 2)]
545     u_barra_lista = []
546     for x in xi:
547         u_barra_lista.append(u_barra(x, alphas, xi, h))
548     print(f"x = {x:.4f} ; u_barra = {u_barra(x, alphas, xi, h)
:.22f}")
549
550     plt.plot(xi, u_barra_lista, label="$d=L/10$, $k_a=60$")
551
552     print("\nParametros: \nks=3.6, ka=60, L=1, d=L/3, q(x)=0, \
nf(x)=Q(x) ")

```

```

553     input("\nk(x)=ks se L/2-d<x<L/2+d e k(x)=ka caso contrario")
554
555     n = 63
556     Q0 = 2000
557     theta = 0.1
558     sigma = 0.1
559     L = 1
560     Q_0 = 1000
561     f = lambda x, y: Q0 * np.e ** (-((x - L / 2) ** 2) / sigma
**2) - (
562         Q_0
563         * (
564             np.e ** (-(x**2) / theta**2)
565             + np.e ** (-((x - L) ** 2) / theta**2)
566         )
567     ) # função f(x) # função f(x)
568
569     def k(x, y): # função k(x)
570         L = 1
571         d = L / 3 # L/3
572         ka = 60
573         ks = 3.6
574         if L / 2 - d < x < L / 2 + d:
575             return ks
576         else:
577             return ka
578
579     q = lambda x, y: 0 # função q(x)
580     alphas = sol_sistema_linear_tridiagonal(f, k, q, n, n10) #
solução do sistema
581
582     L = 1
583     h = L / (n + 1)
584     xi = [i * h for i in range(n + 2)]
585     u_barra_lista = []
586     for x in xi:
587         u_barra_lista.append(u_barra(x, alphas, xi, h))
588     print(f"x = {x:.4f} ; u_barra = {u_barra(x, alphas, xi, h)
:.22f}")
589
590     plt.plot(xi, u_barra_lista, label="$d=L/3$, $k_a=60$")
591     plt.legend()
592     plt.grid()
593     plt.ylabel("$T(x)$")
594     plt.xlabel("$x$")
595     plt.show()
596
597     input("\nParametros: \nks=3.6, ka=429, L=1, d=L/10, q(x)=0,
\nf(x)=Q(x)")
598
599     n = 63

```

```

600     Q0 = 2000
601     theta = 0.1
602     sigma = 0.1
603     L = 1
604     Q_0 = 1000
605     f = lambda x, y: Q0 * np.e ** ( -((x - L / 2) ** 2) / sigma
**2) - (
606         Q_0
607         * (
608             np.e ** ( -(x**2) / theta**2)
609             + np.e ** ( -(x - L) ** 2) / theta**2)
610         )
611     ) # função f(x) # função f(x)
612
613     def k(x, y): # função k(x)
614         L = 1
615         d = L / 10 # L/3
616         ka = 429
617         ks = 3.6
618         if L / 2 - d < x < L / 2 + d:
619             return ks
620         else:
621             return ka
622
623     q = lambda x, y: 0 # função q(x)
624     alphas = sol_sistema_linear_tridiagonal(f, k, q, n, n10) #
solução do sistema
625
626     L = 1
627     h = L / (n + 1)
628     xi = [i * h for i in range(n + 2)]
629     u_barra_lista = []
630     for x in xi:
631         u_barra_lista.append(u_barra(x, alphas, xi, h))
632     print(f"x = {x:.4f} ; u_barra = {u_barra(x, alphas, xi, h)
:.22f}")
633
634     plt.plot(xi, u_barra_lista, label="$d=L/10$, $k_a=429$")
635
636     print("\nParametros: \nks=3.6, ka=429, L=1, d=L/3, q(x)=0, \
nf(x)=Q(x)")
637     input("\nk(x)=ks se L/2-d<x<1/2+d e k(x)=ka caso contrario")
638
639     n = 63
640     Q0 = 2000
641     theta = 0.1
642     sigma = 0.1
643     L = 1
644     Q_0 = 1000
645     f = lambda x, y: Q0 * np.e ** ( -((x - L / 2) ** 2) / sigma
**2) - (

```

```

646         Q_0
647         * (
648             np.e ** (-(x**2) / theta**2)
649             + np.e ** (-(x - L) ** 2) / theta**2)
650         )
651     ) # função f(x) # função f(x)
652
653     def k(x, y): # função k(x)
654         L = 1
655         d = L / 3 # L/3
656         ka = 429
657         ks = 3.6
658         if L / 2 - d < x < L / 2 + d:
659             return ks
660         else:
661             return ka
662
663     q = lambda x, y: 0 # função q(x)
664     alphas = sol_sistema_linear_tridiagonal(f, k, q, n, n10) #
665     solução do sistema
666
667     L = 1
668     h = L / (n + 1)
669     xi = [i * h for i in range(n + 2)]
670     u_barra_lista = []
671     for x in xi:
672         u_barra_lista.append(u_barra(x, alphas, xi, h))
673         print(f"x = {x:.4f} ; u_barra = {u_barra(x, alphas, xi, h)
674         :.22f}")
675
676     plt.plot(xi, u_barra_lista, label="$d=L/3$, $k_a=429$")
677     plt.legend()
678     plt.grid()
679     plt.ylabel("$T(x)$")
680     plt.xlabel("$x$")
681     plt.show()
682
683     input("\nParametros: \nks=3.6, ka=0.03, L=1, d=L/10, q(x)=0,
684     \nf(x)=Q(x)")
685
686     n = 63
687     Q0 = 2000
688     theta = 0.1
689     sigma = 0.1
690     L = 1
691     Q_0 = 1000
692     f = lambda x, y: Q0 * np.e ** (-(x - L / 2) ** 2) / sigma

```



```

693         + np.e ** ( -((x - L) ** 2) / theta**2)
694     )
695 ) # função f(x) # função f(x)
696
697 def k(x, y): # função k(x)
698     L = 1
699     d = L / 10 # L/3
700     ka = 0.03
701     ks = 3.6
702     if L / 2 - d < x < L / 2 + d:
703         return ks
704     else:
705         return ka
706
707 q = lambda x, y: 0 # função q(x)
708 alphas = sol_sistema_linear_tridiagonal(f, k, q, n, n10) #
solução do sistema
709
710 L = 1
711 h = L / (n + 1)
712 xi = [i * h for i in range(n + 2)]
713 u_barra_lista = []
714 for x in xi:
715     u_barra_lista.append(u_barra(x, alphas, xi, h))
716     print(f"x = {x:.4f} ; u_barra = {u_barra(x, alphas, xi, h)
:.22f}")
717
718 plt.plot(xi, u_barra_lista, label="$d=L/10$, $k_a=0.03$")
719
720 print("\nParametros: \nks=3.6, ka=0.03, L=1, d=L/3, q(x)=0,
\nf(x)=Q(x)")
721 input("\nk(x)=ks se L/2-d<x<1/2+d e k(x)=ka caso contrario")
722
723 n = 63
724 Q0 = 2000
725 theta = 0.1
726 sigma = 0.1
727 L = 1
728 Q_0 = 1000
729 f = lambda x, y: Q0 * np.e ** ( -((x - L / 2) ** 2) / sigma
**2) - (
730     Q_0
731     * (
732         np.e ** ( -(x**2) / theta**2)
733         + np.e ** ( -(x - L) ** 2) / theta**2)
734     )
735 ) # função f(x) # função f(x)
736
737 def k(x, y): # função k(x)
738     L = 1
739     d = L / 3 # L/3

```

```

740         ka = 0.03
741         ks = 3.6
742         if (L / 2 - d) < x and x < (L / 2 + d):
743             return ks
744         else:
745             return ka
746
747         q = lambda x, y: 0 # função q(x)
748         alphas = sol_sistema_linear_tridiagonal(f, k, q, n, n10) #
solução do sistema
749
750         L = 1
751         h = L / (n + 1)
752         xi = [i * h for i in range(n + 2)]
753         u_barra_lista = []
754         for x in xi:
755             u_barra_lista.append(u_barra(x, alphas, xi, h))
756             print(f"x = {x:.4f} ; u_barra = {u_barra(x, alphas, xi, h)
:.22f}")
757
758         plt.plot(xi, u_barra_lista, label="$d=L/3$, $k_a=0.03$")
759         plt.legend()
760         plt.grid()
761         plt.ylabel("$T(x)$")
762         plt.xlabel("$x$")
763         plt.show()
764
765
766 if __name__ == "__main__":
767     main()

```